

RIVM Rapport 723101 057 / 2001

Landelijk Meetnet Regenwatersamenstelling
Meetresultaten 2000

A.P. Stolk

Dit rapport werd opgesteld in opdracht en ten laste van het Directoraat-Generaal Milieubeheer in het kader van project nr. 723101, Monitoring Lucht.

Abstract

This report presents the results of the chemical composition measurements of precipitation in the Netherlands in 2000. Measurements were performed on four-weekly samples obtained from the National Precipitation Chemistry Monitoring Network. Samples from 15 stations were analysed for main components and inorganic microcomponents (heavy metals). Analysis of the main component samples determined the concentrations of free acid (hydrogen ions/hydrogen carbonate), sodium, potassium, calcium, magnesium, fluoride, chloride, nitrate, sulphate and phosphate, along with conductivity and pH value. The samples for heavy metals were analysed for arsenic, cadmium, cobalt, nickel, chromium, copper, iron, lead vanadium and zinc. Additionally, separate samples were taken at one station for analysis of the component mercury and the pesticide lindane (γ -HCH).

Samenvatting

Dit rapport presenteert de resultaten van de in 2000 uitgevoerde metingen van de chemische samenstelling van neerslag in Nederland. De metingen zijn uitgevoerd op vierwekelijkse monsters verkregen uit het Landelijk Meetnet Regenwatersamenstelling. Op 15 stations werden monsters verzameld voor analyse op hoofdcomponenten en op anorganische microcomponenten (zware metalen). In de monsters van de hoofdcomponenten werden de concentraties van vrij zuur (hydronium/waterstofcarbonaat), natrium, kalium, calcium, magnesium, fluoride, chloride, nitraat, sulfaat en fosfaat bepaald. Voorts werden van deze monsters de geleidbaarheid en de pH bepaald. De monsters voor zware metalen werden geanalyseerd op arseen, cadmium, chroom, kobalt, koper, lood, nikkel, ijzer, vanadium en zink. Daarnaast werden op een station aparte monsters verzameld voor analyse op het bestrijdingsmiddel lindaan (γ -HCH) en kwik.

Inhoud

1.	Inleiding	5
2.	Het Landelijk Meetnet Regenwatersamenstelling	7
2.1	Meetpakket	7
2.2	Meetnetconfiguratie	7
2.3	Monsternameapparatuur	7
2.4	Monsternamestrategie	9
3.	Berekeningswijzen	11
4.	Toelichting op de presentatie van de resultaten in de bijlagen	13
	Literatuur	15
Bijlage A.	Concentratie en natte depositie van hoofdcomponenten per station	17
Bijlage B.	Landelijk overzicht van concentratie en natte depositie van hoofdcomponenten voor de jaar-, zomer- en winterperiode	35
Bijlage C.	Concentratie en natte depositie van zware metalen per station	39
Bijlage D.	Landelijk overzicht van concentratie en natte depositie van zware metalen voor de jaar-, zomer- en winterperiode	57
Bijlage E.	Concentratie en natte depositie van bestrijdingsmiddelen per station	61
Bijlage F.	Concentratie en natte depositie van kwik per station	63
Bijlage G.	Overzicht van onderste analysegrenzen, molgewichten en gebruikte afkortingen	65
Bijlage H.	Verzendlijst	67

1. Inleiding

In het Landelijk Meetnet Regenwatersamenstelling (LMRe) worden regenwatermonsters verzameld voor onderzoek naar de chemische samenstelling ervan. De belangrijkste doelstellingen van het LMRe zijn:

- regionale en landelijke beschrijving van natte depositiefluxen, met name van de verzurende en de prioritaire componenten;
- signaleren en kwantificeren van de trend in de natte depositieflux;
- toetsing van de uitkomsten van modelberekeningen, zoals die onder andere worden gemaakt door het Laboratorium voor Luchtonderzoek (LLO) van het RIVM.

In dit rapport worden de meetresultaten van het LMRe gepresenteerd in tabelvorm. Per station wordt van de gemeten componenten zowel de concentratie als de depositie weergegeven.

Hoofdstuk 2 geeft een overzicht van het LMRe, Hoofdstuk 3 beschrijft de gebruikte berekeningswijzen en in Hoofdstuk 4 wordt een toelichting gegeven op de presentatie van de resultaten in de bijlagen.

2. Het Landelijk Meetnet Regenwatersamenstelling

2.1 Meetpakket

In 2000 werden de volgende componenten gemeten:

- hoofdcomponenten: geleidbaarheid, pH, vrij zuur (sterk zuur/waterstofcarbonaat), natrium, kalium, calcium, magnesium, fluoride, chloride, nitraat, sulfaat en fosfaat;
- zware metalen: arseen, chroom, cadmium, kobalt, koper, lood, nikkel, vanadium, ijzer en zink en daarnaast kwik;
- bestrijdingsmiddel: lindaan (γ -HCH).

2.2 Meetnetconfiguratie

Het LMRe bestond in 2000 uit 15 stations. Per 2 februari 2000 is station Valthermond (929) operationeel geworden. Dit station komt in de plaats van station Witteveen (928), waar de metingen per 1 februari 2000 zijn beëindigd. De ligging van de stations is weergegeven in Figuur 1. In Tabel 1 is voor elk station het meetprogramma vermeld.

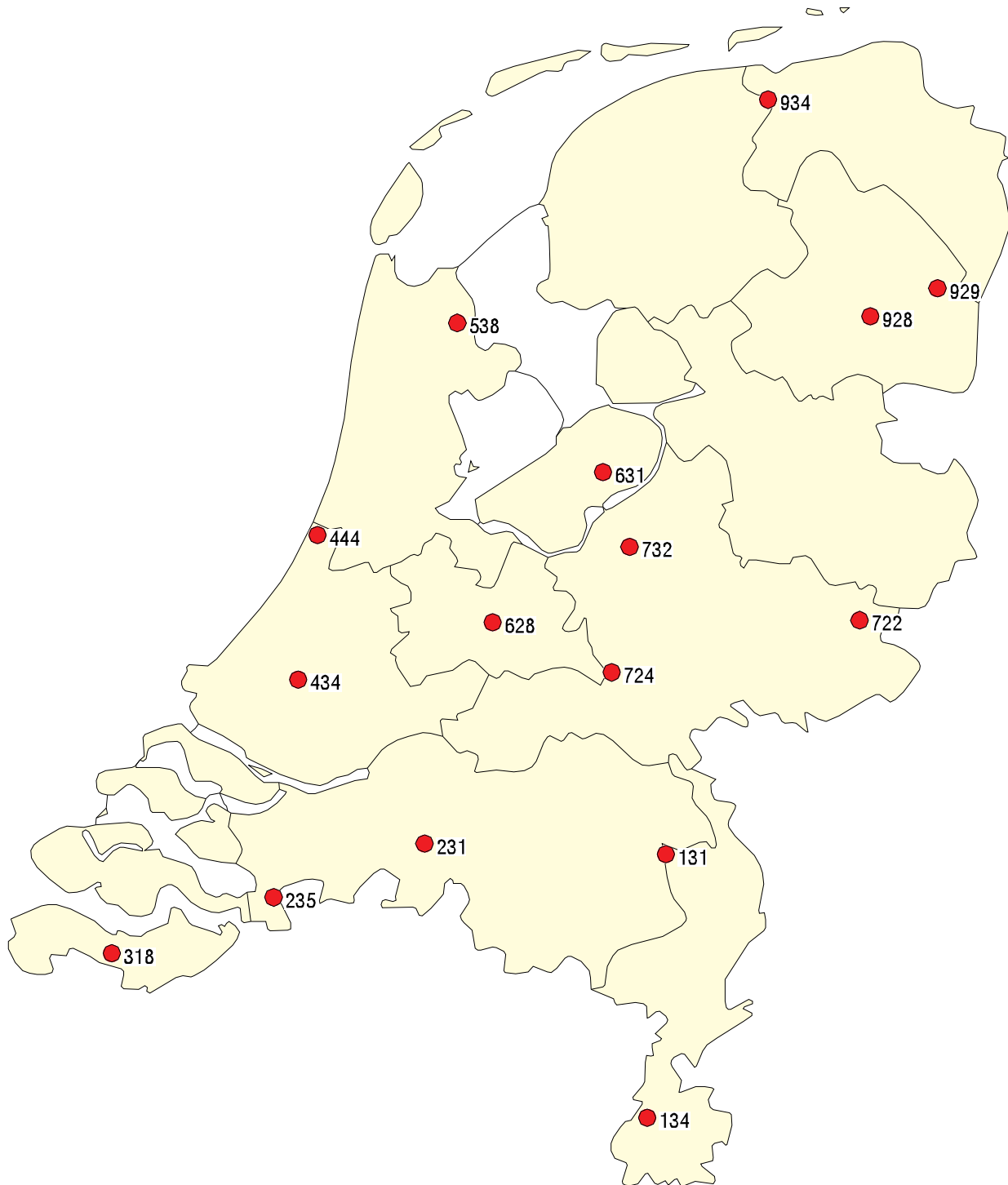
2.3 Monsternameapparatuur

De monstername van regenwater voor analyse op hoofdcomponenten en zware metalen vindt plaats met behulp van zogenaamde 'wet-only' vangers. Dit zijn instrumenten waarvan de opvangtrechter met een deksel is afgesloten wanneer er geen regen valt. Bij het begin van regenval geeft de bij de regenvanger behorende detector een signaal af om het deksel te openen. Na afloop van de regen sluit het deksel weer automatisch. De bijdrage van droge depositie in de trechter tijdens droge perioden wordt zodoende geëlimineerd. Op ieder station staan twee vangers opgesteld: één voor de analyse van hoofdcomponenten en één voor de analyse van zware metalen.

Voor het onderzoek naar bestrijdingsmiddelen en kwik werden in 2000 ook wet-only vangers gebruikt, terwijl voor lindaan een open vanger is gebruikt. De opvangtrechter en de verzamel-fles van al deze vangers zijn van glas. Voor nadere bijzonderheden wordt verwezen naar Buijsman (1989a) en Van Elzakker (2001).

Daar de wet-only vanger door de hoogte van het opvangoppervlak (1,50 m) minder geschikt is voor de meting van de juiste hoeveelheid neerslag, is op ieder station een standaard KNMI-

regenmeter aanwezig met het opvangoppervlak op 0,40 m boven het maaiveld. De met dit instrument gemeten hoeveelheid neerslag wordt gebruikt voor de berekening van de natte depositie (Buijsman, 1989b).



Figuur 1: Lokaties van het Landelijk Meetnet Regenwatersamenstelling

Tabel 1: Meetstations van het Landelijk Meetnet Regenwatersamenstelling in 2000

station	stations-nummer	coördinaten ¹		meetprogramma ²
		X	Y	
Beek	134	182.4	325.1	HC, ZM
Biddinghuizen	631	170.8	495.7	HC, ZM
Philippine	318	40.8	368.5	HC, ZM
De Bilt	628	140.6	456.9	HC, ZM
De Zilk	444	95.2	479.1	HC, ZM, HCH, Hg
Eibergen	722	238.5	456.6	HC, ZM
Gilze-Rijen	231	123.5	397.5	HC, ZM
Huijbergen	235	83.6	383.3	HC, ZM
Kollumerwaard	934	214.3	594.2	HC, ZM
Rotterdam	434	90.1	440.9	HC, ZM
Speulderveld	732	177.7	476.0	HC, ZM
Valthermond	929	259.1	544.3	HC, ZM
Vredepeel	131	187.3	394.7	HC, ZM
Wageningen	724	172.9	442.7	HC, ZM
Wieringerwerf	538	132.3	535.2	HC, ZM
Witteveen	928	241.4	536.9	HC, ZM

¹ Coördinaten volgens de verschoven Rijksdriehoekmeting van de Topografische Dienst (in km).

² HC : hoofdcomponenten (pH, geleidbaarheid, vrij zuur (sterk zuur/waterstofcarbonaat), ammonium, natrium, kalium, calcium, magnesium, fluoride, chloride, nitraat, sulfaat, fosfaat)
 ZM : zware metalen (arsen, chroom, cadmium, kobalt, koper, lood, nikkel, vanadium, ijzer en zink)
 HCH : bestrijdingsmiddel (lindaan)
 Hg : kwik

2.4 Monsternamestrategie

De monsternameperiode in het Landelijk Meetnet Regenwatersamenstelling is vier weken. Zodoende worden in een jaar 13 monsters geanalyseerd. De monsters voor analyse op hoofdcomponenten en zware metalen werden op tweewekelijkse basis verzameld en aan het eind van twee periodes van twee weken samengevoegd. De monsters voor analyse op kwik werden op wekelijkse basis verzameld. De monsters voor analyse op lindaan werden op vierwekelijkse basis verzameld.

Door verschillende oorzaken kunnen de monsternameperiodes afwijken van de oorspronkelijke zoals die vermeld zijn in Tabel 2. In bijna alle gevallen waarbij de monsternameperiode afwijkt van de oorspronkelijke is de monsternameperiode opgesplitst of iets verschoven.

Tabel 2: *Monstername perioden in 2000.*

periode	begin	einde	periode	begin	einde
1	22-12-1999	19-01-2000	8	05-07-2000	02-08-2000
2	19-01-2000	16-02-2000	9	02-08-2000	30-08-2000
3	16-02-2000	15-03-2000	10	30-08-2000	27-09-2000
4	15-03-2000	12-04-2000	11	27-09-2000	25-10-2000
5	12-04-2000	10-05-2000	12	25-10-2000	22-11-2000
6	10-05-2000	07-06-2000	13	22-11-2000	20-12-2000
7	07-06-2000	05-07-2000			

De gebruikte methoden voor monstervoorbehandeling en chemische analyse zijn beschreven in Buijsman (1989a) en Van Elzakker (2001).

3. Berekeningswijzen

De gewogen-gemiddelde concentratie (\bar{C}_w) van een component in een bepaalde periode wordt berekend als:

$$\bar{C}_w = \frac{\sum_i p_i \cdot C_i}{\sum_i p_i} \quad (1)$$

waarbij C_i gelijk is aan de concentratie van die component in het i -de monster en p_i gelijk is aan de hoeveelheid neerslag in de i -de periode. Voor de hoeveelheid neerslag worden de resultaten van de officiële (KNMI) regenmeter gebruikt.

De natte depositie (D_w) van een component in een bepaalde periode wordt berekend als:

$$D_w = \sum_i p_i \cdot C_i \quad (2)$$

Naast de gewogen-gemiddelde concentratie en de natte depositie worden bij de hoofdcomponenten ook de gewogen-gemiddelde geleidbaarheid en de gewogen-gemiddelde pH gepresenteerd. De gewogen-gemiddelde geleidbaarheid wordt op dezelfde manier als een gewogen-gemiddelde concentratie berekend. Om de gewogen-gemiddelde pH te berekenen, wordt eerst voor elk vierwekelijks monster de H^+ -concentratie berekend uit de pH:

$$\left[H^+ \right]_{\text{calc}} = 10^{-\text{pH}} \quad (3)$$

Vervolgens worden de berekende H^+ -concentraties gewogen gemiddeld volgens vgl. 1. Uit de zo verkregen gemiddelde H^+ -concentratie wordt de gemiddelde pH bepaald.

Met nadruk wordt erop gewezen dat de depositie van potentieel zuur, $D_w(\text{PZ})$, niet in de tabellen is opgenomen. Deze kan worden berekend als:

$$D_w(\text{PZ}) = D_w(\text{H}) + 2 \cdot D_w(\text{NH}_4) \quad (4)$$

Hierbij wordt verondersteld dat atmosferisch gedeponeed NH_4 in de bodem kan worden omgezet volgens:



In hoeverre deze omzetting daadwerkelijk optreedt hangt af van de aard van de bodem en de daarop groeiende vegetatie. De berekende hoeveelheid potentieel zuur volgens bovenstaande definitie geeft dus de hoogst mogelijke bijdrage.

Een alternatieve berekeningswijze, die onder andere wordt toegepast in (Erisman, 1991), is:

$$D_w(\text{PZ}) = 2 \cdot D_w(\text{SO}_4) + D_w(\text{NO}_3) + D_w(\text{NH}_x) \quad (6)$$

De twee berekeningswijzen geven hetzelfde resultaat (Buijsman, 1990) onder de voorwaarde dat de bij de berekeningen gehanteerde sulfaatconcentratie wordt gecorrigeerd voor de bijdrage van neutraal sulfaat afkomstig van zeezout-aërosol en er rekening wordt gehouden met de neutraliserende werking van Ca-aërosol (vorming van $\text{Ca}(\text{NO}_3)_2$).

Onder de aanname dat alle Na in regenwater afkomstig is van zeezout kan de gecorrigeerde sulfaatconcentratie (SO_4^*) worden berekend volgens:

$$[\text{SO}_4^*] = [\text{SO}_4]_r - 0,06 \cdot [\text{Na}]_r \quad (7)$$

waarin $[\text{SO}_4]_r$ en $[\text{Na}]_r$ de gemeten sulfaat- en natriumconcentratie in regenwater zijn en waarin de factor 0,06 de molaire verhouding van sulfaat en natrium in zeewater aangeeft (Weast et al., 1981). Voor zeezout-aërosol wordt dezelfde verhouding verondersteld.

De neutraliserende werking van Ca-aërosol wordt in rekening gebracht door de nitraatconcentratie te verminderen met tweemaal de waarde van de calciumconcentratie.

$$[\text{NO}_3^*] = [\text{NO}_3]_r - 2 \cdot [\text{Ca}]_r \quad (8)$$

4. Toelichting op de presentatie van de resultaten in de bijlagen

De resultaten van de metingen in 2000 worden in een aantal bijlagen gepresenteerd. Deze bijlagen worden hieronder toegelicht.

- In Bijlage A worden de concentratie en depositie van hoofdcomponenten per periode en per station in tabelvorm gepresenteerd. Onder 'datum' is de einddatum van de bemonsteringsperiode vermeld, de begindatum is de einddatum van de voorafgaande periode, zie ook Tabel 2.

Op een aantal plaatsen in de tabellen ontbreken meetwaarden, ofwel omdat de betreffende gegevens bij de validatie zijn afgekeurd (aangegeven met een '-'), ofwel omdat de component op het betreffende station niet gemeten wordt (blanco). Indien de waarde voor de concentratie of depositie wordt voorafgegaan door een '<' -teken, dan was de concentratie in het betreffende monster lager dan de onderste analysegrens. In die gevallen is de waarde van de onderste analysegrens vermeld als concentratie. Echter bij de berekening van de natte depositie voor die monsterperiode is de gemeten concentratie gehanteerd. Uitzondering hierop vormt linaaan, waarbij de bepalingsgrens samenvalt met de onderste analysegrens en deze gebruikt wordt voor de depositieberekening.

De hoeveelheid neerslag bepaald met de officiële regenmeter, is in de tabellen vermeld onder de kop 'nsl'. In geval van het ontbreken van de hoeveelheid neerslag bepaald met de officiële regenmeter is een substituerende hoeveelheid ingevuld gebaseerd op het gemiddelde van de neerslaghoeveelheid van de twee wet-only vangers die op dezelfde lokatie staan. Ontbreken deze ook dan is de neerslag berekend aan de hand van drie omliggende KNMI-neerslagstations. De elektrische geleidbaarheid is in de tabellen vermeld onder de kop 'K25' en de zuurgraad is in de tabellen vermeld onder de kop 'pH'. Aan het eind van elke concentratie- danwel depositietabel wordt de gemiddelde concentratie resp. de natte depositie voor de jaar-, zomer- en winterperiode gegeven¹. Het jaarcijfer wordt niet gegeven wanneer meer dan 4 waarden ontbreken, de cijfers voor de zomer- en winterperiode wanneer meer dan 2 waarden ontbreken. De depositiecijfers zijn gecorrigeerd voor ontbrekende waarden door vermenigvuldiging met het quotiënt van het verwachte aantal monsters en het gerealiseerde aantal (geldige) monsters. De jaartotale depositie is berekend als de som van de depositie voor de zomerperiode en de depositie voor de winterperiode.

- Bijlage B geeft een landelijk overzicht van de concentratie en natte depositie van hoofdcomponenten voor de jaar-, zomer- en winterperiode.

¹ Bij berekeningen voor de winterperiode is gebruik gemaakt van monsters uit de eerste drie vierweken perioden van het jaar en de laatste drie. Monsters uit de overige zeven perioden zijn gebruikt bij berekeningen voor de zomerperiode.

- In Bijlage C worden, analoog aan Bijlage A, de meetresultaten van de zware metalen gepresenteerd.
- Bijlage D geeft een landelijk overzicht van de concentratie en natte depositie van zware metalen voor de jaar-, zomer- en winterperiode.
- In Bijlage E worden per station en monsternameperiode de resultaten gegeven van de metingen van linaan. Het betreft hier ongevalideerde resultaten.
- In Bijlage F worden per station en monsternameperiode de resultaten gegeven van de metingen van kwik. Het betreft hier ongevalideerde resultaten.
- In Bijlage G staan van de gemeten componenten de gebruikte afkortingen, molgewichten en de onderste analysegrenzen in 2000.

Literatuur

- Buijsman E. 1989a. Onderbouwende informatie over het Landelijk Meetnet Luchtkwaliteit. I. Het Landelijk Meetnet Regenwatersamenstelling. Bilthoven: Rijksinstituut voor Volksgezondheid en Milieu (RIVM). Rapport nr. 228703006.
- Buijsman E. 1989b. Kwaliteitsaspecten van het Landelijk Meetnet Regenwatersamenstelling. I. Hoofdcomponenten. Bilthoven: Rijksinstituut voor Volksgezondheid en Milieu (RIVM). Rapport nr. 228703009.
- Buijsman E. 1990. De berekening van de natte, zure depositie: een vergelijking van een aantal berekeningswijzen. Bilthoven: Rijksinstituut voor Volksgezondheid en Milieu (RIVM). Rapport nr. 228703011.
- Erisman JW. 1991. Acid deposition in the Netherlands. Bilthoven: Rijksinstituut voor Volksgezondheid en Milieu (RIVM). Rapport nr. 723001002.
- Van Elzaker BG. 2001. Monitoring activities in the Dutch National Air Quality Monitoring Network in 2000 and 2001. Bilthoven: Rijksinstituut voor Volksgezondheid en Milieu (RIVM). Rapport nr. 723101055.
- Weast RC, Astle MJ. 1981. CRC Handbook of Chemistry and Physics. 62nd ed. Boca Raton: CRC.

Bijlage A Concentratie en natte depositie van hoofdcomponenten per station

Tabel A1: Concentratie van hoofdcomponenten in 2000 op station 131.

datum	nsi mm	pH	K25 μS/cm	H+ μmol/l	NH4 μmol/l	NO3 μmol/l	SO4 μmol/l	PO4 μmol/l	F μmol/l	Cl μmol/l	Na μmol/l	K μmol/l	Mg μmol/l	Ca μmol/l
000119	61.7	-	-	-	-	-	-	-	-	-	-	-	-	-
000216	69.5	6.19	24.8	-23	93	36	30	< 0.4	0.7	67	60	2	7	7
000315	117.8	-	-	-	-	-	-	-	-	-	-	-	-	-
000412	23.1	6.60	41.0	-85	221	82	44	< 0.4	1.4	46	40	4	7	16
000510	65.3	6.50	27.1	-73	155	55	28	3.1	0.9	11	10	5	3	13
000607	123.8	5.98	17.9	-11	94	43	26	< 0.4	1.0	11	10	2	2	8
000705	36.1	-	-	-	-	-	-	-	-	-	-	-	-	-
000802	71.8	-	-	-	-	-	-	-	-	-	-	-	-	-
000830	62.7	5.10	18.3	> -5	73	30	33	< 0.4	0.8	23	21	3	4	7
000927	54.4	6.60	20.8	-63	121	30	18	4.2	0.6	18	18	8	4	6
001025	71.3	5.86	14.2	-13	78	33	18	< 0.4	0.6	12	9	< 1	1	2
001122	69.7	6.40	15.6	-19	72	24	20	< 0.4	< 0.4	28	27	2	3	5
001220	55.8	6.32	17.5	-16	64	17	19	< 0.4	< 0.4	51	46	2	5	3

jaar	883.0	5.84	20.2	-28	98	37	25	0.8	0.7	27	24	3	4	7
zomer	437.2	5.69	21.9	-36	115	44	28	1.4	0.9	17	15	4	3	9
winter	445.8	6.13	18.0	-18	77	28	22	0.0	0.3	38	35	2	4	4

Tabel A2: Natte depositie van hoofdcomponenten in 2000 op station 131.

datum	nsi mm	H+ mmol/m ²	NH4 mmol/m ²	NO3 mmol/m ²	SO4 mmol/m ²	PO4 mmol/m ²	F mmol/m ²	Cl mmol/m ²	Na mmol/m ²	K mmol/m ²	Mg mmol/m ²	Ca mmol/m ²
000119	61.7	-	-	-	-	-	-	-	-	-	-	-
000216	69.5	-1.6	6.5	2.5	2.1	< 0.03	0.05	4.7	4.2	0.2	0.5	0.5
000315	117.8	-	-	-	-	-	-	-	-	-	-	-
000412	23.1	-2.0	5.1	1.9	1.0	< 0.01	0.03	1.1	0.9	0.1	0.2	0.4
000510	65.3	-4.8	10.1	3.6	1.8	0.20	0.06	0.7	0.7	0.3	0.2	0.9
000607	123.8	-1.4	11.6	5.4	3.2	< 0.05	0.12	1.4	1.2	0.2	0.2	0.9
000705	36.1	-	-	-	-	-	-	-	-	-	-	-
000802	71.8	-	-	-	-	-	-	-	-	-	-	-
000830	62.7	> -0.3	4.6	1.9	2.1	< 0.03	0.05	1.4	1.3	0.2	0.3	0.4
000927	54.4	-3.4	6.6	1.6	1.0	0.23	0.03	1.0	1.0	0.4	0.2	0.3
001025	71.3	-0.9	5.6	2.3	1.3	< 0.03	0.04	0.8	0.6	< 0.1	0.1	0.2
001122	69.7	-1.3	5.0	1.6	1.4	< 0.03	< 0.03	1.9	1.8	0.1	0.2	0.3
001220	55.8	-0.9	3.6	0.9	1.1	< 0.02	< 0.02	2.8	2.6	0.1	0.3	0.2

jaar	883.0	-23.5	84.1	31.2	21.3	0.65	0.55	23.1	20.9	2.4	3.2	5.8
zomer	437.2	-16.5	53.2	20.1	12.7	0.63	0.42	7.8	7.1	1.7	1.5	4.1
winter	445.8	-7.0	30.9	11.1	8.6	0.02	0.14	15.4	13.8	0.6	1.7	1.8

Tabel A3: Concentratie van hoofdcomponenten in 2000 op station 134.

datum	nsI	pH	K25	H+	NH4	NO3	SO4	PO4	F	Cl	Na	K	Mg	Ca
	mm		$\mu\text{S/cm}$	$\mu\text{mol/l}$	$\mu\text{mol/l}$	$\mu\text{mol/l}$	$\mu\text{mol/l}$	$\mu\text{mol/l}$	$\mu\text{mol/l}$	$\mu\text{mol/l}$	$\mu\text{mol/l}$	$\mu\text{mol/l}$	$\mu\text{mol/l}$	$\mu\text{mol/l}$
000119	65.2	5.76	11.9	< 5	36	18	16	< 0.4	1.0	21	18	1	3	6
000216	80.5	5.36	23.1	5	53	31	25	< 0.4	2.0	63	56	2	7	8
000315	72.2	6.04	22.8	> -5	82	39	31	< 0.4	1.9	46	43	2	6	10
000412	26.0	6.34	38.5	-38	200	75	59	0.7	4.1	34	28	6	5	17
000510	76.5	6.30	20.8	-28	103	52	28	< 0.4	1.9	8	9	3	3	15
000607	79.8	5.81	21.0	> -5	91	53	30	< 0.4	2.0	18	16	3	3	13
000705	51.1	5.86	16.0	> -5	70	38	25	1.4	1.0	8	10	6	3	8
000802	154.1	4.81	22.3	21	65	42	25	0.8	1.6	17	15	2	2	4
000830	46.9	5.30	16.5	> -5	66	43	24	< 0.4	1.9	7	16	7	2	11
000927	71.2	6.03	13.9	-10	66	29	20	2.1	0.9	10	10	6	2	5
001025	65.4	5.22	13.9	7	47	32	17	< 0.4	1.2	11	9	1	2	7
001122	51.3	5.87	12.0	-6	36	22	15	< 0.4	< 0.4	21	20	2	3	11
001220	58.5	5.72	11.5	> -5	31	17	13	< 0.4	1.2	25	24	2	3	6

jaar	898.7	5.35	18.7	-1	68	37	24	0.5	1.5	22	21	3	3	8
zomer	505.6	5.24	20.3	-2	83	45	27	0.8	1.7	14	14	4	2	9
winter	393.1	5.55	16.5	1	49	27	20	0.1	1.3	33	30	2	4	8

Tabel A4: Natte depositie van hoofdcomponenten in 2000 op station 134.

datum	nsI	H+	NH4	NO3	SO4	PO4	F	Cl	Na	K	Mg	Ca
	mm	mmol/m^2	mmol/m^2	mmol/m^2	mmol/m^2	mmol/m^2	mmol/m^2	mmol/m^2	mmol/m^2	mmol/m^2	mmol/m^2	mmol/m^2
000119	65.2	< 0.3	2.3	1.2	1.0	< 0.03	0.07	1.4	1.2	0.1	0.2	0.4
000216	80.5	0.4	4.3	2.5	2.0	< 0.03	0.16	5.1	4.5	0.2	0.6	0.7
000315	72.2	> -0.4	5.9	2.8	2.2	< 0.03	0.14	3.3	3.1	0.2	0.4	0.7
000412	26.0	-1.0	5.2	2.0	1.5	0.02	0.11	0.9	0.7	0.1	0.1	0.4
000510	76.5	-2.1	7.9	4.0	2.1	< 0.03	0.15	0.6	0.7	0.2	0.2	1.1
000607	79.8	> -0.4	7.3	4.2	2.4	< 0.03	0.16	1.4	1.3	0.2	0.3	1.0
000705	51.1	> -0.3	3.6	2.0	1.3	0.07	0.05	0.4	0.5	0.3	0.1	0.4
000802	154.1	3.3	10.0	6.4	3.9	0.12	0.25	2.5	2.4	0.4	0.3	0.5
000830	46.9	> -0.2	3.1	2.0	1.1	< 0.02	0.09	0.3	0.7	0.3	0.1	0.5
000927	71.2	-0.7	4.7	2.0	1.4	0.15	0.06	0.7	0.7	0.5	0.1	0.4
001025	65.4	0.5	3.1	2.1	1.1	< 0.03	0.08	0.7	0.6	0.1	0.1	0.4
001122	51.3	-0.3	1.8	1.1	0.8	< 0.02	< 0.02	1.1	1.0	0.1	0.2	0.5
001220	58.5	> -0.3	1.8	1.0	0.7	< 0.02	0.07	1.5	1.4	0.1	0.2	0.3

jaar	898.7	-0.8	61.0	33.3	21.7	0.45	1.37	20.0	18.7	2.8	2.9	7.5
zomer	505.6	-1.1	41.7	22.6	13.8	0.39	0.86	6.9	6.9	2.1	1.3	4.4
winter	393.1	0.4	19.3	10.7	7.9	0.05	0.51	13.1	11.8	0.7	1.7	3.1

Tabel A5: Concentratie van hoofdcomponenten in 2000 op station 231.

datum	nsi	pH	K25	H+	NH4	NO3	SO4	PO4	F	Cl	Na	K	Mg	Ca
	mm		$\mu\text{S/cm}$	$\mu\text{mol/l}$	$\mu\text{mol/l}$	$\mu\text{mol/l}$	$\mu\text{mol/l}$	$\mu\text{mol/l}$	$\mu\text{mol/l}$	$\mu\text{mol/l}$	$\mu\text{mol/l}$	$\mu\text{mol/l}$	$\mu\text{mol/l}$	$\mu\text{mol/l}$
000119	83.4	5.29	12.8	7	37	19	14	< 0.4	0.5	21	19	1	2	< 2
000216	73.3	5.36	20.4	5	57	30	25	< 0.4	0.6	47	45	4	5	4
000315	107.1	5.89	21.9	> -5	73	29	27	0.9	0.9	50	47	3	6	8
000413	32.4	6.43	30.3	-39	152	58	40	< 0.4	1.4	34	33	3	5	12
000510	47.8	5.96	23.7	-8	124	60	36	< 0.4	1.6	10	9	3	2	10
000606	157.1	5.62	18.2	< 5	76	36	26	< 0.4	0.9	23	22	2	3	5
000705	71.6	5.85	24.2	> -5	124	69	35	< 0.4	1.0	15	19	4	2	5
000802	113.0	4.68	27.1	27	62	44	26	< 0.4	0.9	36	31	1	4	4
000830	43.1	5.79	15.3	-17	83	33	22	0.5	1.2	8	9	3	1	5
000927	50.8	6.32	19.1	-26	88	33	23	1.9	0.9	23	25	7	4	6
001025	79.7	5.10	20.3	10	53	29	22	< 0.4	0.8	50	44	1	5	4
001122	94.6	6.07	17.2	-12	62	27	21	2.6	< 0.4	35	38	10	4	3
001220	71.8	5.48	16.7	< 5	43	18	18	< 0.4	< 0.4	47	43	2	5	3

jaar	1025.7	5.33	20.2	-0	73	35	25	0.5	0.8	32	31	3	4	5
zomer	515.8	5.24	22.1	-1	91	45	28	0.3	1.0	23	22	3	3	6
winter	509.9	5.44	18.3	1	55	26	21	0.7	0.5	42	39	4	5	4

Tabel A6: Natte depositie van hoofdcomponenten in 2000 op station 231.

datum	nsi	H+	NH4	NO3	SO4	PO4	F	Cl	Na	K	Mg	Ca
	mm	mmol/m^2	mmol/m^2	mmol/m^2	mmol/m^2	mmol/m^2	mmol/m^2	mmol/m^2	mmol/m^2	mmol/m^2	mmol/m^2	mmol/m^2
000119	83.4	0.6	3.1	1.5	1.1	< 0.03	0.04	1.8	1.6	0.1	0.2	< 0.1
000216	73.3	0.4	4.2	2.2	1.8	< 0.03	0.04	3.4	3.3	0.3	0.4	0.3
000315	107.1	> -0.5	7.8	3.1	2.9	0.10	0.10	5.4	5.0	0.3	0.6	0.8
000413	32.4	-1.2	4.9	1.9	1.3	< 0.01	0.05	1.1	1.1	0.1	0.1	0.4
000510	47.8	-0.4	5.9	2.9	1.7	< 0.02	0.08	0.5	0.4	0.2	0.1	0.5
000606	157.1	< 0.8	11.9	5.6	4.1	< 0.06	0.14	3.7	3.4	0.3	0.5	0.8
000705	71.6	> -0.4	8.9	4.9	2.5	< 0.03	0.07	1.1	1.3	0.3	0.2	0.4
000802	113.0	3.1	7.0	5.0	2.9	< 0.05	0.10	4.0	3.5	0.1	0.5	0.4
000830	43.1	-0.7	3.6	1.4	1.0	0.02	0.05	0.3	0.4	0.1	0.1	0.2
000927	50.8	-1.3	4.5	1.7	1.2	0.10	0.05	1.2	1.2	0.3	0.2	0.3
001025	79.7	0.8	4.2	2.3	1.7	< 0.03	0.06	4.0	3.5	0.1	0.4	0.3
001122	94.6	-1.1	5.9	2.6	1.9	0.25	< 0.04	3.3	3.6	1.0	0.4	0.3
001220	71.8	< 0.4	3.1	1.3	1.3	< 0.03	< 0.03	3.4	3.1	0.2	0.3	0.2

jaar	1025.7	-0.1	75.0	36.4	25.5	0.51	0.78	33.1	31.5	3.3	3.9	5.1
zomer	515.8	-0.6	46.7	23.4	14.7	0.16	0.53	11.9	11.4	1.4	1.6	3.0
winter	509.9	0.5	28.3	13.0	10.8	0.35	0.25	21.3	20.1	1.9	2.4	2.1

Tabel A7: Concentratie van hoofdcomponenten in 2000 op station 235.

datum	nsi	pH	K25	H+	NH4	NO3	SO4	PO4	F	Cl	Na	K	Mg	Ca
	mm		$\mu\text{S/cm}$	$\mu\text{mol/l}$	$\mu\text{mol/l}$	$\mu\text{mol/l}$	$\mu\text{mol/l}$	$\mu\text{mol/l}$	$\mu\text{mol/l}$	$\mu\text{mol/l}$	$\mu\text{mol/l}$	$\mu\text{mol/l}$	$\mu\text{mol/l}$	$\mu\text{mol/l}$
000119	71.9	-	-	-	-	-	-	-	-	-	-	-	-	-
000216	65.8	5.05	25.1	12	60	29	32	< 0.4	1.3	69	61	2	8	8
000315	89.1	5.69	25.4	< 5	69	35	33	< 0.4	1.2	72	66	4	8	9
000412	27.3	6.24	39.1	-20	158	77	49	< 0.4	1.6	81	74	7	9	12
000510	46.6	6.19	29.4	-21	141	69	45	2.4	1.5	17	14	9	4	19
000607	142.1	4.99	23.9	14	75	42	31	< 0.4	1.1	31	29	2	4	7
000705	39.8	4.51	37.2	39	91	60	44	< 0.4	1.1	37	35	3	4	8
000802	109.4	5.04	23.6	11	53	32	24	< 0.4	0.9	61	54	3	6	5
000830	50.2	5.22	18.9	5	88	44	30	< 0.4	1.0	13	11	4	2	6
000927	93.5	4.86	21.3	20	47	31	21	< 0.4	0.7	34	32	3	4	4
001026	109.5	4.78	24.4	21	35	25	22	< 0.4	0.9	63	52	2	7	5
001122	95.6	5.11	17.8	10	48	21	24	0.6	< 0.4	29	27	3	4	5
001221	93.0	4.90	22.4	15	35	21	22	< 0.4	0.9	68	60	3	7	4

jaar	1033.7	4.99	24.1	11	64	35	29	0.3	0.9	48	43	3	6	7
zomer	508.8	4.98	25.2	11	78	44	31	0.3	1.0	38	35	3	5	7
winter	524.9	5.00	22.9	13	48	26	26	0.2	0.8	59	53	3	7	6

Tabel A8: Natte depositie van hoofdcomponenten in 2000 op station 235.

datum	nsi	H+	NH4	NO3	SO4	PO4	F	Cl	Na	K	Mg	Ca
	mm	mmol/m^2	mmol/m^2	mmol/m^2	mmol/m^2	mmol/m^2	mmol/m^2	mmol/m^2	mmol/m^2	mmol/m^2	mmol/m^2	mmol/m^2
000119	71.9	-	-	-	-	-	-	-	-	-	-	-
000216	65.8	0.8	3.9	1.9	2.1	< 0.03	0.09	4.5	4.0	0.1	0.5	0.5
000315	89.1	< 0.4	6.1	3.1	2.9	< 0.04	0.11	6.4	5.9	0.3	0.7	0.8
000412	27.3	-0.5	4.3	2.1	1.3	< 0.01	0.04	2.2	2.0	0.2	0.2	0.3
000510	46.6	-1.0	6.6	3.2	2.1	0.11	0.07	0.8	0.6	0.4	0.2	0.9
000607	142.1	1.9	10.7	5.9	4.4	< 0.06	0.16	4.4	4.1	0.3	0.5	0.9
000705	39.8	1.6	3.6	2.4	1.7	< 0.02	0.04	1.5	1.4	0.1	0.2	0.3
000802	109.4	1.2	5.8	3.5	2.6	< 0.04	0.10	6.6	5.9	0.3	0.7	0.5
000830	50.2	0.3	4.4	2.2	1.5	< 0.02	0.05	0.7	0.6	0.2	0.1	0.3
000927	93.5	1.9	4.4	2.9	2.0	< 0.04	0.07	3.2	3.0	0.3	0.4	0.4
001026	109.5	2.2	3.8	2.7	2.4	< 0.04	0.10	6.9	5.7	0.2	0.8	0.5
001122	95.6	1.0	4.6	2.0	2.3	0.06	< 0.04	2.8	2.6	0.3	0.3	0.5
001221	93.0	1.4	3.3	1.9	2.0	< 0.04	0.08	6.3	5.6	0.3	0.6	0.4

jaar	1033.7	12.2	65.9	36.4	29.8	0.27	0.98	51.6	46.1	3.2	5.9	6.8
zomer	508.8	5.4	39.8	22.3	15.7	0.14	0.53	19.3	17.6	1.8	2.3	3.6
winter	524.9	6.8	26.1	14.1	14.2	0.14	0.45	32.3	28.6	1.5	3.6	3.2

Tabel A9: Concentratie van hoofdcomponenten in 2000 op station 318.

datum	nsi	pH	K25	H+	NH4	NO3	SO4	PO4	F	Cl	Na	K	Mg	Ca
	mm		$\mu\text{S/cm}$	$\mu\text{mol/l}$	$\mu\text{mol/l}$	$\mu\text{mol/l}$	$\mu\text{mol/l}$	$\mu\text{mol/l}$	$\mu\text{mol/l}$	$\mu\text{mol/l}$	$\mu\text{mol/l}$	$\mu\text{mol/l}$	$\mu\text{mol/l}$	$\mu\text{mol/l}$
000119	91.7	5.86	19.0	> -5	38	17	19	< 0.4	0.8	70	61	3	7	8
000216	71.2	5.99	28.4	-10	62	23	29	< 0.4	0.9	118	105	5	12	8
000315	75.6	6.19	29.1	-11	71	38	31	< 0.4	1.2	103	95	6	13	13
000412	37.3	6.32	38.9	-36	174	69	53	0.4	1.5	69	59	6	7	12
000510	53.6	6.26	25.7	-32	103	54	40	0.6	1.5	17	15	5	5	29
000607	117.3	6.10	23.7	-20	87	50	31	< 0.4	1.4	32	31	6	5	20
000705	60.0	-	-	-	-	-	-	-	-	-	-	-	-	-
000802	93.5	5.22	25.6	7	58	31	26	< 0.4	1.0	82	69	3	9	6
000830	31.8	5.89	23.1	-28	105	51	30	< 0.4	1.1	24	22	3	4	17
000927	87.6	5.52	22.7	< 5	51	28	20	< 0.4	0.4	77	70	5	9	5
001025	77.9	5.95	19.4	-17	59	27	24	1.3	1.0	42	38	7	6	13
001122	107.2	-	-	-	-	-	-	-	-	-	-	-	-	-
001220	98.7	5.15	19.6	8	44	17	22	< 0.4	1.2	54	48	2	6	4

jaar	1003.4	5.61	24.1	-9	69	34	27	0.3	1.1	64	57	5	7	11
zomer	481.1	5.62	25.5	-13	84	43	30	0.3	1.1	53	47	5	7	14
winter	522.3	5.60	22.7	-5	53	24	24	0.4	1.0	75	67	4	8	9

Tabel A10: Natte depositie van hoofdcomponenten in 2000 op station 318.

datum	nsi	H+	NH4	NO3	SO4	PO4	F	Cl	Na	K	Mg	Ca
	mm	mmol/m^2	mmol/m^2	mmol/m^2	mmol/m^2	mmol/m^2	mmol/m^2	mmol/m^2	mmol/m^2	mmol/m^2	mmol/m^2	mmol/m^2
000119	91.7	> -0.5	3.5	1.6	1.7	< 0.04	0.07	6.4	5.6	0.3	0.7	0.7
000216	71.2	-0.7	4.4	1.6	2.0	< 0.03	0.06	8.4	7.5	0.3	0.9	0.6
000315	75.6	-0.8	5.4	2.9	2.4	< 0.03	0.09	7.8	7.2	0.5	1.0	1.0
000412	37.3	-1.3	6.5	2.6	2.0	0.02	0.06	2.6	2.2	0.2	0.3	0.4
000510	53.6	-1.7	5.5	2.9	2.1	0.03	0.08	0.9	0.8	0.3	0.3	1.5
000607	117.3	-2.4	10.2	5.8	3.6	< 0.05	0.16	3.7	3.6	0.7	0.5	2.3
000705	60.0	-	-	-	-	-	-	-	-	-	-	-
000802	93.5	0.7	5.4	2.9	2.4	< 0.04	0.09	7.6	6.4	0.3	0.8	0.5
000830	31.8	-0.9	3.3	1.6	1.0	< 0.01	0.04	0.8	0.7	0.1	0.1	0.6
000927	87.6	< 0.4	4.5	2.5	1.7	< 0.04	0.04	6.8	6.1	0.5	0.8	0.4
001025	77.9	-1.3	4.6	2.1	1.8	0.10	0.08	3.2	2.9	0.6	0.4	1.0
001122	107.2	-	-	-	-	-	-	-	-	-	-	-
001220	98.7	0.8	4.3	1.7	2.2	< 0.04	0.12	5.4	4.7	0.2	0.6	0.4

jaar	1003.4	-9.0	68.0	33.3	27.1	0.33	1.05	63.6	56.6	4.6	7.4	11.1
zomer	481.1	-6.3	41.4	21.4	14.9	0.15	0.54	26.1	23.1	2.4	3.3	6.7
winter	522.3	-2.7	26.6	11.9	12.2	0.18	0.51	37.5	33.5	2.2	4.2	4.4

Tabel A11: Concentratie van hoofdcomponenten in 2000 op station 434.

datum	nsi	pH	K25	H+	NH4	NO3	SO4	PO4	F	Cl	Na	K	Mg	Ca
	mm		$\mu\text{S/cm}$	$\mu\text{mol/l}$	$\mu\text{mol/l}$	$\mu\text{mol/l}$	$\mu\text{mol/l}$	$\mu\text{mol/l}$	$\mu\text{mol/l}$	$\mu\text{mol/l}$	$\mu\text{mol/l}$	$\mu\text{mol/l}$	$\mu\text{mol/l}$	$\mu\text{mol/l}$
000119	56.2	4.80	23.8	24	34	21	23	0.8	0.8	58	51	2	6	2
000216	86.1	4.76	25.6	22	39	27	27	0.9	0.8	65	58	2	7	6
000315	105.1	6.48	34.8	-63	92	32	30	4.5	0.7	111	104	16	15	18
000412	23.7	-	-	-	-	-	-	-	-	-	-	-	-	-
000510	40.0	-	-	-	-	-	-	-	-	-	-	-	-	-
000607	106.5	-	-	-	-	-	-	-	-	-	-	-	-	-
000705	43.7	-	-	-	-	-	-	-	-	-	-	-	-	-
000802	89.1	5.27	27.3	6	81	41	32	1.2	0.9	67	63	5	8	6
000830	13.6	-	-	-	-	-	-	-	-	-	-	-	-	-
000927	61.7	4.88	30.8	19	72	48	32	1.8	0.6	67	65	4	8	7
001025	96.2	4.76	30.4	20	42	29	27	< 0.4	0.8	95	86	2	10	5
001122	181.0	4.65	27.4	27	35	29	23	< 0.4	< 0.4	63	61	2	7	4
001220	90.2	4.81	27.9	23	29	24	20	< 0.4	< 0.4	100	90	3	10	4

jaar	993.0	-	-	-	-	-	-	-	-	-	-	-	-	-
zomer	378.3	-	-	-	-	-	-	-	-	-	-	-	-	-
winter	614.7	4.81	28.6	9	45	28	25	1.0	0.4	82	75	5	9	7

Tabel A12: Natte depositie van hoofdcomponenten in 2000 op station 434.

datum	nsi	H+	NH4	NO3	SO4	PO4	F	Cl	Na	K	Mg	Ca
	mm	mmol/m^2	mmol/m^2	mmol/m^2	mmol/m^2	mmol/m^2	mmol/m^2	mmol/m^2	mmol/m^2	mmol/m^2	mmol/m^2	mmol/m^2
000119	56.2	1.3	1.9	1.2	1.3	0.05	0.05	3.3	2.8	0.1	0.3	0.1
000216	86.1	1.9	3.4	2.4	2.3	0.08	0.07	5.6	5.0	0.2	0.6	0.5
000315	105.1	-6.7	9.7	3.3	3.1	0.47	0.07	11.7	10.9	1.7	1.6	1.8
000412	23.7	-	-	-	-	-	-	-	-	-	-	-
000510	40.0	-	-	-	-	-	-	-	-	-	-	-
000607	106.5	-	-	-	-	-	-	-	-	-	-	-
000705	43.7	-	-	-	-	-	-	-	-	-	-	-
000802	89.1	0.5	7.2	3.7	2.9	0.10	0.08	6.0	5.6	0.4	0.7	0.5
000830	13.6	-	-	-	-	-	-	-	-	-	-	-
000927	61.7	1.1	4.4	2.9	1.9	0.11	0.04	4.2	4.0	0.2	0.5	0.5
001025	96.2	2.0	4.0	2.7	2.6	< 0.04	0.08	9.2	8.2	0.2	1.0	0.5
001122	181.0	4.8	6.3	5.3	4.2	< 0.07	< 0.07	11.5	11.1	0.4	1.3	0.7
001220	90.2	2.0	2.6	2.2	1.8	< 0.04	< 0.04	9.0	8.1	0.2	0.9	0.4

jaar	993.0	-	-	-	-	-	-	-	-	-	-	-
zomer	378.3	-	-	-	-	-	-	-	-	-	-	-
winter	614.7	5.4	27.9	17.1	15.3	0.64	0.26	50.2	46.1	2.8	5.8	4.1

Tabel A13: Concentratie van hoofdcomponenten in 2000 op station 444.

datum	nsI	pH	K25	H+	NH4	NO3	SO4	PO4	F	Cl	Na	K	Mg	Ca
	mm		$\mu\text{S/cm}$	$\mu\text{mol/l}$	$\mu\text{mol/l}$	$\mu\text{mol/l}$	$\mu\text{mol/l}$	$\mu\text{mol/l}$	$\mu\text{mol/l}$	$\mu\text{mol/l}$	$\mu\text{mol/l}$	$\mu\text{mol/l}$	$\mu\text{mol/l}$	$\mu\text{mol/l}$
000119	76.9	4.78	38.2	24	20	19	23	< 0.4	0.4	175	148	4	17	4
000216	70.2	4.76	32.8	21	35	29	27	< 0.4	0.6	188	168	4	19	7
000315	83.8	4.75	48.0	23	27	29	28	< 0.4	0.7	234	203	5	24	9
000412	21.0	5.43	46.9	< 5	122	72	48	< 0.4	1.1	154	134	5	16	16
000510	43.0	4.95	28.7	14	98	66	37	< 0.4	1.3	42	41	4	5	10
000607	89.4	5.18	45.1	9	50	31	30	0.8	0.5	223	193	6	23	8
000705	17.7	-	-	-	-	-	-	-	-	-	-	-	-	-
000802	49.2	4.52	45.2	44	24	33	29	< 0.4	< 0.4	164	148	4	18	6
000830	14.9	4.66	33.5	29	83	66	37	< 0.4	0.8	53	56	4	7	10
000927	106.7	4.95	28.9	16	53	35	26	1.1	< 0.4	86	77	3	10	6
001025	115.2	4.76	35.9	22	32	27	24	< 0.4	0.5	147	119	3	15	5
001122	200.0	4.63	40.5	31	23	31	23	< 0.4	< 0.4	163	140	4	17	5
001220	101.3	4.73	39.9	23	24	24	23	< 0.4	< 0.4	194	163	4	19	5

jaar	989.2	4.76	38.7	23	37	32	26	0.2	0.3	163	141	4	17	6
zomer	341.9	4.89	37.2	18	60	42	31	0.6	0.4	133	117	5	14	8
winter	647.4	4.71	39.5	25	26	27	24	0.0	0.3	178	152	4	18	5

Tabel A14: Natte depositie van hoofdcomponenten in 2000 op station 444.

datum	nsI	H+	NH4	NO3	SO4	PO4	F	Cl	Na	K	Mg	Ca
	mm	mmol/m^2	mmol/m^2	mmol/m^2	mmol/m^2	mmol/m^2	mmol/m^2	mmol/m^2	mmol/m^2	mmol/m^2	mmol/m^2	mmol/m^2
000119	76.9	1.9	1.5	1.4	1.7	< 0.03	0.03	13.4	11.3	0.3	1.3	0.3
000216	70.2	1.5	2.5	2.0	1.9	< 0.03	0.04	13.2	11.8	0.3	1.3	0.5
000315	83.8	1.9	2.3	2.4	2.3	< 0.03	0.06	19.6	17.0	0.4	2.0	0.8
000412	21.0	< 0.1	2.6	1.5	1.0	< 0.01	0.02	3.2	2.8	0.1	0.3	0.3
000510	43.0	0.6	4.2	2.8	1.6	< 0.02	0.06	1.8	1.7	0.2	0.2	0.4
000607	89.4	0.8	4.5	2.8	2.7	0.07	0.04	20.0	17.2	0.6	2.1	0.7
000705	17.7	-	-	-	-	-	-	-	-	-	-	-
000802	49.2	2.2	1.2	1.6	1.4	< 0.02	< 0.02	8.1	7.3	0.2	0.9	0.3
000830	14.9	0.4	1.2	1.0	0.6	< 0.01	0.01	0.8	0.8	0.1	0.1	0.2
000927	106.7	1.7	5.7	3.8	2.8	0.12	< 0.04	9.2	8.2	0.4	1.0	0.6
001025	115.2	2.5	3.7	3.1	2.7	< 0.05	0.06	16.9	13.8	0.3	1.7	0.6
001122	200.0	6.3	4.6	6.3	4.5	< 0.08	< 0.08	32.5	28.1	0.8	3.4	0.9
001220	101.3	2.3	2.4	2.4	2.3	< 0.04	< 0.04	19.7	16.5	0.4	1.9	0.5

jaar	989.2	23.0	39.5	33.4	27.3	0.24	0.35	165.6	142.9	4.2	17.1	6.5
zomer	341.9	6.7	22.5	15.8	11.7	0.23	0.16	50.2	44.4	1.7	5.4	3.0
winter	647.4	16.3	17.0	17.6	15.5	0.01	0.19	115.4	98.5	2.5	11.6	3.5

Tabel A17: Concentratie van hoofdcomponenten in 2000 op station 628.

datum	nsI	pH	K25	H+	NH4	NO3	SO4	PO4	F	Cl	Na	K	Mg	Ca
	mm		$\mu\text{S/cm}$	$\mu\text{mol/l}$	$\mu\text{mol/l}$	$\mu\text{mol/l}$	$\mu\text{mol/l}$	$\mu\text{mol/l}$	$\mu\text{mol/l}$	$\mu\text{mol/l}$	$\mu\text{mol/l}$	$\mu\text{mol/l}$	$\mu\text{mol/l}$	$\mu\text{mol/l}$
000119	75.0	5.03	21.8	14	39	24	17	< 0.4	0.4	68	60	2	7	2
000216	68.5	5.04	23.8	11	53	33	26	< 0.4	0.6	71	64	3	8	6
000315	111.6	5.34	25.2	7	50	28	24	< 0.4	0.7	77	70	3	9	10
000412	22.2	6.35	41.2	-33	169	79	52	< 0.4	1.4	72	76	13	8	14
000510	32.8	-	-	-	-	-	-	-	-	-	-	-	-	-
000607	128.4	6.24	23.5	-36	101	41	26	3.6	0.6	42	37	11	5	7
000705	38.7	5.66	26.3	< 5	108	61	37	< 0.4	1.0	35	37	5	5	10
000802	84.7	4.66	28.0	32	62	47	29	< 0.4	0.7	37	34	2	4	4
000830	38.7	5.41	23.3	< 5	100	59	33	< 0.4	1.0	23	26	7	3	8
000927	61.5	6.01	28.1	-10	111	56	37	< 0.4	0.9	46	53	9	6	8
001025	76.6	5.17	23.5	7	71	37	27	< 0.4	0.7	56	50	1	6	5
001122	120.5	5.02	21.1	14	51	32	21	< 0.4	< 0.4	41	38	2	4	4
001220	93.1	5.13	33.7	9	41	27	23	< 0.4	< 0.4	157	138	4	16	5

jaar	952.3	5.16	25.6	3	70	38	26	0.6	0.5	63	58	5	7	6
zomer	407.0	5.22	26.6	-8	98	51	32	1.3	0.8	41	40	8	5	7
winter	545.3	5.11	24.9	10	50	30	23	0.0	0.4	78	70	3	8	5

Tabel A18: Natte depositie van hoofdcomponenten in 2000 op station 628.

datum	nsI	H+	NH4	NO3	SO4	PO4	F	Cl	Na	K	Mg	Ca
	mm	mmol/m^2	mmol/m^2	mmol/m^2	mmol/m^2	mmol/m^2	mmol/m^2	mmol/m^2	mmol/m^2	mmol/m^2	mmol/m^2	mmol/m^2
000119	75.0	1.1	2.9	1.8	1.3	< 0.03	0.03	5.1	4.5	0.1	0.5	0.2
000216	68.5	0.8	3.6	2.3	1.7	< 0.03	0.04	4.9	4.4	0.2	0.5	0.4
000315	111.6	0.8	5.6	3.1	2.7	< 0.04	0.08	8.6	7.9	0.3	1.0	1.1
000412	22.2	-0.7	3.8	1.7	1.2	< 0.01	0.03	1.6	1.7	0.3	0.2	0.3
000510	32.8	-	-	-	-	-	-	-	-	-	-	-
000607	128.4	-4.6	13.0	5.2	3.4	0.46	0.08	5.4	4.7	1.4	0.7	0.9
000705	38.7	< 0.2	4.2	2.4	1.4	< 0.02	0.04	1.3	1.4	0.2	0.2	0.4
000802	84.7	2.7	5.3	4.0	2.5	< 0.03	0.06	3.1	2.9	0.2	0.4	0.3
000830	38.7	< 0.2	3.9	2.3	1.3	< 0.02	0.04	0.9	1.0	0.3	0.1	0.3
000927	61.5	-0.6	6.8	3.4	2.3	< 0.02	0.06	2.8	3.3	0.6	0.3	0.5
001025	76.6	0.5	5.4	2.8	2.0	< 0.03	0.05	4.3	3.8	0.1	0.5	0.4
001122	120.5	1.7	6.1	3.8	2.6	< 0.05	< 0.05	5.0	4.6	0.3	0.5	0.4
001220	93.1	0.8	3.8	2.5	2.1	< 0.04	< 0.04	14.6	12.9	0.4	1.5	0.4

jaar	952.3	2.0	70.5	38.5	26.3	0.59	0.55	60.1	55.4	4.7	6.7	6.1
zomer	407.0	-3.6	43.0	22.2	13.9	0.56	0.35	17.7	17.4	3.3	2.2	3.2
winter	545.3	5.7	27.5	16.3	12.4	0.03	0.20	42.3	38.0	1.4	4.5	3.0

Tabel A19: Concentratie van hoofdcomponenten in 2000 op station 631.

datum	nsi	pH	K25	H+	NH4	NO3	SO4	PO4	F	Cl	Na	K	Mg	Ca
	mm		$\mu\text{S/cm}$	$\mu\text{mol/l}$	$\mu\text{mol/l}$	$\mu\text{mol/l}$	$\mu\text{mol/l}$	$\mu\text{mol/l}$	$\mu\text{mol/l}$	$\mu\text{mol/l}$	$\mu\text{mol/l}$	$\mu\text{mol/l}$	$\mu\text{mol/l}$	$\mu\text{mol/l}$
000119	68.5	6.02	16.7	-9	33	19	15	< 0.4	< 0.4	58	53	5	7	9
000216	61.9	6.05	30.7	-13	50	34	25	< 0.4	0.7	86	79	3	11	19
000315	105.9	5.78	22.1	< 5	37	31	22	< 0.4	0.6	74	66	3	9	14
000412	30.4	6.46	32.9	-47	161	64	36	7.0	1.0	46	39	7	7	12
000510	27.8	-	-	-	-	-	-	-	-	-	-	-	-	-
000607	87.6	6.13	21.4	-22	87	39	24	0.4	0.8	41	37	2	6	10
000705	41.2	5.98	24.1	> -5	117	72	31	< 0.4	0.5	20	20	5	4	10
000802	93.1	5.94	19.4	-10	53	45	22	< 0.4	0.6	38	36	4	6	20
000830	70.7	6.20	26.5	-68	124	52	26	2.9	0.5	22	27	9	5	20
000927	78.5	5.87	22.6	> -5	70	41	23	< 0.4	0.6	56	51	5	7	11
001025	66.8	5.72	24.4	-7	72	40	26	< 0.4	0.6	72	63	2	8	9
001122	113.7	5.24	18.1	8	51	33	19	< 0.4	< 0.4	36	34	1	4	4
001220	82.5	5.72	24.0	> -5	32	21	17	< 0.4	< 0.4	111	98	3	11	8

jaar	928.5	5.75	22.6	-12	66	38	23	0.6	0.5	56	51	4	7	12
zomer	429.3	6.03	23.2	-24	91	48	25	1.2	0.6	38	36	5	6	14
winter	499.2	5.61	22.1	-2	45	29	20	0.1	0.3	71	63	3	8	10

Tabel A20: Natte depositie van hoofdcomponenten in 2000 op station 631.

datum	nsi	H+	NH4	NO3	SO4	PO4	F	Cl	Na	K	Mg	Ca
	mm	mmol/m^2	mmol/m^2	mmol/m^2	mmol/m^2	mmol/m^2	mmol/m^2	mmol/m^2	mmol/m^2	mmol/m^2	mmol/m^2	mmol/m^2
000119	68.5	-0.6	2.3	1.3	1.0	< 0.03	< 0.03	4.0	3.6	0.3	0.5	0.6
000216	61.9	-0.8	3.1	2.1	1.5	< 0.02	0.04	5.3	4.9	0.2	0.7	1.2
000315	105.9	< 0.5	3.9	3.2	2.3	< 0.04	0.06	7.8	7.0	0.3	1.0	1.5
000412	30.4	-1.4	4.9	2.0	1.1	0.21	0.03	1.4	1.2	0.2	0.2	0.4
000510	27.8	-	-	-	-	-	-	-	-	-	-	-
000607	87.6	-1.9	7.6	3.4	2.1	0.04	0.07	3.6	3.3	0.2	0.5	0.9
000705	41.2	> -0.2	4.8	3.0	1.3	< 0.02	0.02	0.8	0.8	0.2	0.1	0.4
000802	93.1	-0.9	4.9	4.2	2.1	< 0.04	0.06	3.5	3.3	0.4	0.6	1.8
000830	70.7	-4.8	8.8	3.7	1.8	0.21	0.04	1.6	1.9	0.6	0.3	1.4
000927	78.5	> -0.4	5.5	3.2	1.8	< 0.03	0.05	4.4	4.0	0.4	0.6	0.8
001025	66.8	-0.5	4.8	2.6	1.7	< 0.03	0.04	4.8	4.2	0.1	0.5	0.6
001122	113.7	0.9	5.8	3.7	2.1	< 0.05	< 0.05	4.1	3.9	0.2	0.5	0.5
001220	82.5	> -0.4	2.6	1.7	1.4	< 0.03	< 0.03	9.1	8.1	0.2	0.9	0.6

jaar	928.5	-12.2	65.1	37.3	22.0	0.60	0.45	53.0	48.5	3.6	6.9	11.7
zomer	429.3	-11.2	42.6	22.6	11.9	0.57	0.30	17.8	16.9	2.3	2.8	6.7
winter	499.2	-1.0	22.5	14.7	10.1	0.03	0.15	35.2	31.6	1.3	4.1	5.0

Tabel A21: Concentratie van hoofdcomponenten in 2000 op station 722.

datum	nsi mm	pH	K25 μS/cm	H+ μmol/l	NH4 μmol/l	NO3 μmol/l	SO4 μmol/l	PO4 μmol/l	F μmol/l	Cl μmol/l	Na μmol/l	K μmol/l	Mg μmol/l	Ca μmol/l
000119	60.4	6.22	13.9	-16	69	23	15	< 0.4	0.4	26	21	1	3	< 2
000216	70.8	6.06	25.9	-16	94	40	27	< 0.4	0.8	74	67	3	8	6
000315	126.6	6.05	19.1	> -5	66	33	23	< 0.4	< 0.4	47	43	2	5	5
000412	39.5	6.44	28.5	-52	154	58	31	< 0.4	1.1	32	27	2	4	9
000510	46.8	6.03	27.3	-8	135	95	31	< 0.4	0.9	11	12	5	3	16
000607	89.4	6.06	22.2	-23	123	58	27	0.6	0.9	15	12	3	2	6
000705	63.3	6.15	19.0	-16	106	51	23	< 0.4	0.7	16	12	2	2	5
000802	109.4	-	-	-	-	-	-	-	-	-	-	-	-	-
000830	55.9	5.74	14.4	-17	74	37	18	< 0.4	0.5	8	6	2	2	9
000927	105.6	-	-	-	-	-	-	-	-	-	-	-	-	-
001025	61.9	4.93	20.5	15	67	43	22	< 0.4	0.8	22	19	2	3	3
001122	64.9	6.52	17.5	-33	85	29	19	1.0	< 0.4	23	22	6	4	6
001220	70.8	-	-	-	-	-	-	-	-	-	-	-	-	-

jaar	965.2	5.74	20.4	-15	93	44	23	0.2	0.6	30	26	3	4	6
zomer	509.9	6.02	21.7	-22	116	58	26	0.3	0.8	15	13	3	2	8
winter	455.3	5.60	19.5	-10	75	33	22	0.2	0.4	41	37	3	5	5

Tabel A22: Natte depositie van hoofdcomponenten in 2000 op station 722.

datum	nsi mm	H+ mmol/m ²	NH4 mmol/m ²	NO3 mmol/m ²	SO4 mmol/m ²	PO4 mmol/m ²	F mmol/m ²	Cl mmol/m ²	Na mmol/m ²	K mmol/m ²	Mg mmol/m ²	Ca mmol/m ²
000119	60.4	-1.0	4.2	1.4	0.9	< 0.02	0.02	1.5	1.3	0.1	0.2	< 0.1
000216	70.8	-1.1	6.7	2.8	1.9	< 0.03	0.06	5.3	4.8	0.2	0.6	0.4
000315	126.6	> -0.6	8.4	4.1	2.9	< 0.05	< 0.05	5.9	5.4	0.3	0.7	0.7
000412	39.5	-2.0	6.1	2.3	1.2	< 0.02	0.04	1.3	1.1	0.1	0.2	0.3
000510	46.8	-0.4	6.3	4.4	1.5	< 0.02	0.04	0.5	0.5	0.2	0.1	0.7
000607	89.4	-2.1	11.0	5.2	2.4	0.06	0.08	1.3	1.1	0.3	0.2	0.6
000705	63.3	-1.0	6.7	3.2	1.4	< 0.03	0.04	1.0	0.8	0.1	0.1	0.3
000802	109.4	-	-	-	-	-	-	-	-	-	-	-
000830	55.9	-1.0	4.1	2.1	1.0	< 0.02	0.03	0.4	0.4	0.1	0.1	0.5
000927	105.6	-	-	-	-	-	-	-	-	-	-	-
001025	61.9	0.9	4.1	2.7	1.4	< 0.02	0.05	1.4	1.2	0.1	0.2	0.2
001122	64.9	-2.1	5.5	1.9	1.2	0.07	< 0.03	1.5	1.4	0.4	0.3	0.4
001220	70.8	-	-	-	-	-	-	-	-	-	-	-

jaar	965.2	-13.6	82.5	39.5	20.6	0.20	0.52	25.0	22.2	2.4	3.2	5.5
zomer	509.9	-9.1	47.9	24.0	10.6	0.11	0.33	6.3	5.4	1.1	1.0	3.4
winter	455.3	-4.6	34.6	15.5	10.0	0.09	0.19	18.8	16.9	1.2	2.2	2.1

Tabel A23: Concentratie van hoofdcomponenten in 2000 op station 724.

datum	nsI	pH	K25	H+	NH4	NO3	SO4	PO4	F	Cl	Na	K	Mg	Ca
	mm		$\mu\text{S/cm}$	$\mu\text{mol/l}$	$\mu\text{mol/l}$	$\mu\text{mol/l}$	$\mu\text{mol/l}$	$\mu\text{mol/l}$	$\mu\text{mol/l}$	$\mu\text{mol/l}$	$\mu\text{mol/l}$	$\mu\text{mol/l}$	$\mu\text{mol/l}$	$\mu\text{mol/l}$
000119	57.0	6.40	44.7	-29	162	47	47	< 0.4	2.1	143	127	7	14	8
000216	69.8	5.78	24.2	> -5	70	31	27	< 0.4	0.9	77	68	4	8	6
000315	104.4	5.55	19.7	< 5	57	31	23	< 0.4	1.0	45	41	2	5	7
000412	20.5	6.50	44.8	-57	221	85	55	< 0.4	2.1	65	58	7	8	14
000510	45.7	6.33	23.2	-30	122	58	26	< 0.4	1.8	15	14	4	3	10
000607	123.9	-	-	-	-	-	-	-	-	-	-	-	-	-
000705	57.3	6.25	20.3	-20	115	52	24	< 0.4	0.6	14	13	1	2	4
000802	110.3	4.87	23.4	20	80	53	27	< 0.4	0.9	18	16	1	2	4
000830	52.1	5.43	18.4	< 5	91	47	26	< 0.4	1.0	12	13	4	2	5
000927	68.5	-	-	-	-	-	-	-	-	-	-	-	-	-
001025	71.0	4.97	20.6	13	63	37	23	< 0.4	1.0	32	29	2	4	4
001122	85.0	5.60	18.9	< 5	75	32	25	< 0.4	< 0.4	36	32	2	4	4
001220	84.5	5.51	23.3	< 5	49	25	20	< 0.4	1.0	90	81	2	9	4

jaar	950.0	5.35	23.8	-2	86	41	27	0.1	1.0	48	43	3	5	5
zomer	478.3	5.22	23.4	-5	106	55	28	0.1	1.1	19	18	3	3	6
winter	471.7	5.45	24.0	-1	74	33	26	0.0	0.9	66	59	3	7	5

Tabel A24: Natte depositie van hoofdcomponenten in 2000 op station 724.

datum	nsI	H+	NH4	NO3	SO4	PO4	F	Cl	Na	K	Mg	Ca
	mm	mmol/m^2	mmol/m^2	mmol/m^2	mmol/m^2	mmol/m^2	mmol/m^2	mmol/m^2	mmol/m^2	mmol/m^2	mmol/m^2	mmol/m^2
000119	57.0	-1.7	9.2	2.7	2.7	< 0.02	0.12	8.2	7.2	0.4	0.8	0.4
000216	69.8	> -0.3	4.9	2.2	1.9	< 0.03	0.06	5.4	4.7	0.3	0.6	0.4
000315	104.4	< 0.5	6.0	3.2	2.4	< 0.04	0.10	4.7	4.3	0.2	0.6	0.7
000412	20.5	-1.2	4.5	1.7	1.1	< 0.01	0.04	1.3	1.2	0.1	0.2	0.3
000510	45.7	-1.3	5.6	2.7	1.2	< 0.02	0.08	0.7	0.6	0.2	0.1	0.4
000607	123.9	-	-	-	-	-	-	-	-	-	-	-
000705	57.3	-1.1	6.6	3.0	1.4	< 0.02	0.03	0.8	0.8	0.1	0.1	0.2
000802	110.3	2.2	8.8	5.8	2.9	< 0.04	0.10	2.0	1.8	0.1	0.3	0.4
000830	52.1	< 0.3	4.7	2.5	1.4	< 0.02	0.05	0.6	0.7	0.2	0.1	0.2
000927	68.5	-	-	-	-	-	-	-	-	-	-	-
001025	71.0	0.9	4.5	2.6	1.6	< 0.03	0.07	2.2	2.0	0.2	0.2	0.2
001122	85.0	< 0.4	6.4	2.8	2.1	< 0.03	< 0.03	3.1	2.7	0.1	0.3	0.4
001220	84.5	< 0.4	4.1	2.1	1.7	< 0.03	0.08	7.6	6.8	0.2	0.8	0.3

jaar	950.0	-2.4	77.4	37.6	23.6	0.06	0.88	38.7	34.8	2.3	4.3	4.7
zomer	478.3	-2.1	42.4	22.0	11.2	0.04	0.44	7.6	7.1	1.0	1.0	2.3
winter	471.7	-0.3	35.1	15.6	12.4	0.02	0.44	31.1	27.8	1.3	3.3	2.5

Tabel A25: Concentratie van hoofdcomponenten in 2000 op station 732.

datum	nsi mm	pH	K25 μS/cm	H+ μmol/l	NH4 μmol/l	NO3 μmol/l	SO4 μmol/l	PO4 μmol/l	F μmol/l	Cl μmol/l	Na μmol/l	K μmol/l	Mg μmol/l	Ca μmol/l
000119	90.9	5.65	20.9	< 5	59	27	19	< 0.4	< 0.4	73	61	1	7	2
000216	83.8	5.80	26.4	> -5	80	40	29	< 0.4	0.6	76	71	2	9	7
000315	153.2	5.71	24.0	< 5	61	35	27	< 0.4	0.6	74	69	4	13	10
000412	28.9	6.44	37.4	-39	170	71	45	< 0.4	0.9	67	60	3	8	13
000510	44.2	6.14	20.3	-10	108	61	27	< 0.4	0.9	11	11	3	2	8
000607	88.9	5.91	17.5	-8	82	41	23	< 0.4	0.6	21	20	1	3	5
000705	54.1	5.95	22.0	> -5	106	55	31	< 0.4	0.6	24	25	4	3	6
000802	119.2	5.72	22.5	> -5	93	44	27	1.0	0.5	44	44	3	5	3
000830	35.1	6.03	20.8	-29	112	48	25	0.9	0.9	15	15	3	3	8
000927	81.0	5.38	22.8	5	73	42	24	< 0.4	0.6	51	47	2	6	5
001025	70.4	5.39	20.2	< 5	59	33	22	< 0.4	0.6	53	47	4	6	4
001122	110.6	5.56	17.3	< 5	64	30	21	< 0.4	< 0.4	34	33	1	4	3
001220	102.9	5.40	27.2	< 5	40	22	19	< 0.4	< 0.4	126	113	3	13	4

jaar	1063.1	5.64	22.5	-3	76	38	25	0.2	0.4	57	52	3	7	5
zomer	451.4	5.75	22.1	-8	97	48	27	0.4	0.6	34	33	3	4	6
winter	611.7	5.57	22.8	1	60	31	23	0.0	0.3	73	66	3	9	5

Tabel A26: Natte depositie van hoofdcomponenten in 2000 op station 732.

datum	nsi mm	H+ mmol/m ²	NH4 mmol/m ²	NO3 mmol/m ²	SO4 mmol/m ²	PO4 mmol/m ²	F mmol/m ²	Cl mmol/m ²	Na mmol/m ²	K mmol/m ²	Mg mmol/m ²	Ca mmol/m ²
000119	90.9	< 0.5	5.4	2.5	1.7	< 0.04	< 0.04	6.6	5.5	0.1	0.6	0.2
000216	83.8	> -0.4	6.7	3.3	2.4	< 0.03	0.05	6.4	5.9	0.2	0.7	0.6
000315	153.2	< 0.8	9.3	5.4	4.2	< 0.06	0.09	11.4	10.5	0.7	2.0	1.5
000412	28.9	-1.1	4.9	2.1	1.3	< 0.01	0.03	1.9	1.7	0.1	0.2	0.4
000510	44.2	-0.4	4.8	2.7	1.2	< 0.02	0.04	0.5	0.5	0.1	0.1	0.3
000607	88.9	-0.7	7.3	3.6	2.0	< 0.04	0.05	1.9	1.8	0.1	0.2	0.5
000705	54.1	> -0.3	5.7	3.0	1.7	< 0.02	0.03	1.3	1.4	0.2	0.2	0.3
000802	119.2	> -0.6	11.1	5.2	3.2	0.12	0.06	5.3	5.2	0.4	0.6	0.4
000830	35.1	-1.0	3.9	1.7	0.9	0.03	0.03	0.5	0.5	0.1	0.1	0.3
000927	81.0	0.4	5.9	3.4	1.9	< 0.03	0.05	4.1	3.8	0.1	0.5	0.4
001025	70.4	< 0.4	4.2	2.3	1.5	< 0.03	0.04	3.8	3.3	0.3	0.4	0.3
001122	110.6	< 0.6	7.1	3.3	2.3	< 0.04	< 0.04	3.7	3.6	0.1	0.4	0.3
001220	102.9	< 0.5	4.1	2.2	2.0	< 0.04	< 0.04	13.0	11.6	0.3	1.3	0.4

jaar	1063.1	-2.8	80.4	40.7	26.3	0.20	0.48	60.4	55.4	2.8	7.5	5.7
zomer	451.4	-3.5	43.6	21.6	12.1	0.18	0.29	15.5	14.9	1.2	2.0	2.6
winter	611.7	0.7	36.8	19.0	14.2	0.02	0.18	44.9	40.5	1.7	5.5	3.2

Tabel A29: Concentratie van hoofdcomponenten in 2000 op station 929.

datum	nsi mm	pH	K25 μS/cm	H+ μmol/l	NH4 μmol/l	NO3 μmol/l	SO4 μmol/l	PO4 μmol/l	F μmol/l	Cl μmol/l	Na μmol/l	K μmol/l	Mg μmol/l	Ca μmol/l
000216	49.9	5.62	30.6	< 5	50	29	22	< 0.4	0.4	137	125	4	15	6
000315	100.8	5.84	18.1	< 5	47	34	19	< 0.4	0.5	50	47	3	7	8
000412	25.6	6.40	41.0	-41	206	89	49	< 0.4	1.0	58	48	3	7	13
000510	38.1	6.29	29.3	-28	155	74	40	< 0.4	1.0	13	12	6	3	14
000607	100.5	-	-	-	-	-	-	-	-	-	-	-	-	-
000705	74.0	6.28	23.5	-24	94	55	29	< 0.4	1.0	31	43	14	4	8
000802	100.0	4.80	24.5	20	72	54	23	< 0.4	0.7	25	20	2	3	3
000830	47.0	6.04	17.9	-19	89	46	20	< 0.4	0.7	20	14	2	3	9
000927	82.1	5.32	18.0	7	65	38	19	< 0.4	< 0.4	23	22	4	3	4
001025	47.3	5.24	18.1	7	67	38	20	< 0.4	0.6	29	26	3	3	3
001122	66.1	5.60	19.8	< 5	66	35	21	< 0.4	< 0.4	48	45	3	5	4
001220	68.5	5.49	21.5	< 5	43	23	18	< 0.4	< 0.4	83	74	2	8	3

jaar	-	5.37	22.4	-2	75	43	23	0.0	0.5	45	42	4	5	6
zomer	467.3	5.24	23.6	-6	95	54	27	0.1	0.7	26	25	5	3	7
winter	-	5.56	21.0	3	53	32	20	0.0	0.3	66	61	3	8	5

Tabel A30: Natte depositie van hoofdcomponenten in 2000 op station 929.

datum	nsi mm	H+ mmol/m ²	NH4 mmol/m ²	NO3 mmol/m ²	SO4 mmol/m ²	PO4 mmol/m ²	F mmol/m ²	Cl mmol/m ²	Na mmol/m ²	K mmol/m ²	Mg mmol/m ²	Ca mmol/m ²
000216	49.9	< 0.2	2.5	1.4	1.1	< 0.02	0.02	6.8	6.2	0.2	0.8	0.3
000315	100.8	< 0.5	4.7	3.4	1.9	< 0.04	0.05	5.0	4.7	0.3	0.7	0.8
000412	25.6	-1.1	5.3	2.3	1.3	< 0.01	0.03	1.5	1.2	0.1	0.2	0.3
000510	38.1	-1.1	5.9	2.8	1.5	< 0.02	0.04	0.5	0.4	0.2	0.1	0.5
000607	100.5	-	-	-	-	-	-	-	-	-	-	-
000705	74.0	-1.8	7.0	4.1	2.1	< 0.03	0.07	2.3	3.2	1.0	0.3	0.6
000802	100.0	2.0	7.2	5.4	2.3	< 0.04	0.07	2.5	2.0	0.2	0.3	0.3
000830	47.0	-0.9	4.2	2.1	0.9	< 0.02	0.03	1.0	0.7	0.1	0.1	0.4
000927	82.1	0.6	5.3	3.1	1.6	< 0.03	< 0.03	1.9	1.8	0.3	0.2	0.3
001025	47.3	0.3	3.2	1.8	0.9	< 0.02	0.03	1.4	1.2	0.1	0.1	0.1
001122	66.1	< 0.3	4.4	2.3	1.4	< 0.03	< 0.03	3.2	3.0	0.2	0.3	0.3
001220	68.5	< 0.3	2.9	1.5	1.2	< 0.03	< 0.03	5.7	5.0	0.1	0.6	0.2

jaar	-	-1.4	64.3	37.2	20.1	0.04	0.41	40.8	37.8	3.5	4.8	5.3
zomer	467.3	-2.5	40.7	23.2	11.4	0.02	0.28	11.3	10.9	2.3	1.4	2.9
winter	-	1.1	23.6	14.0	8.7	0.02	0.13	29.4	26.9	1.2	3.4	2.3

Tabel A31: Concentratie van hoofdcomponenten in 2000 op station 934.

datum	nsI	pH	K25	H+	NH4	NO3	SO4	PO4	F	Cl	Na	K	Mg	Ca
	mm		$\mu\text{S/cm}$	$\mu\text{mol/l}$	$\mu\text{mol/l}$	$\mu\text{mol/l}$	$\mu\text{mol/l}$	$\mu\text{mol/l}$	$\mu\text{mol/l}$	$\mu\text{mol/l}$	$\mu\text{mol/l}$	$\mu\text{mol/l}$	$\mu\text{mol/l}$	$\mu\text{mol/l}$
000119	68.2	-	-	-	-	-	-	-	-	-	-	-	-	-
000216	73.1	-	-	-	-	-	-	-	-	-	-	-	-	-
000315	76.9	6.19	27.7	-11	47	32	23	< 0.4	0.5	106	95	4	13	20
000412	21.0	6.44	44.5	-36	151	74	38	< 0.4	0.8	140	125	5	15	14
000510	40.1	-	-	-	-	-	-	-	-	-	-	-	-	-
000607	83.3	-	-	-	-	-	-	-	-	-	-	-	-	-
000705	39.0	6.36	42.1	-37	107	46	36	5.7	< 0.4	158	145	9	19	18
000802	72.8	6.07	24.4	-14	69	37	24	2.6	0.5	77	71	4	9	12
000830	42.8	5.99	22.4	-36	79	53	23	< 0.4	0.5	27	42	17	4	13
000927	96.7	6.54	23.8	-47	63	40	22	< 0.4	0.5	46	42	3	8	32
001025	69.7	6.37	24.6	-54	75	30	21	1.9	0.4	59	56	5	8	21
001122	102.6	5.56	20.9	< 5	52	34	20	< 0.4	< 0.4	65	61	3	7	9
001220	90.4	5.47	22.9	< 5	38	24	17	< 0.4	< 0.4	95	86	3	9	4

jaar	876.5	5.87	25.6	-22	64	37	23	1.0	0.3	78	73	5	9	16
zomer	395.7	6.24	28.0	-34	80	45	26	1.6	0.5	74	71	7	10	20
winter	480.9	5.71	23.7	-12	52	30	20	0.4	0.2	81	74	3	9	13

Tabel A32: Natte depositie van hoofdcomponenten in 2000 op station 934.

datum	nsI	H+	NH4	NO3	SO4	PO4	F	Cl	Na	K	Mg	Ca
	mm	mmol/m^2	mmol/m^2	mmol/m^2	mmol/m^2	mmol/m^2	mmol/m^2	mmol/m^2	mmol/m^2	mmol/m^2	mmol/m^2	mmol/m^2
000119	68.2	-	-	-	-	-	-	-	-	-	-	-
000216	73.1	-	-	-	-	-	-	-	-	-	-	-
000315	76.9	-0.8	3.6	2.5	1.8	< 0.03	0.04	8.1	7.3	0.3	1.0	1.5
000412	21.0	-0.8	3.2	1.6	0.8	< 0.01	0.02	2.9	2.6	0.1	0.3	0.3
000510	40.1	-	-	-	-	-	-	-	-	-	-	-
000607	83.3	-	-	-	-	-	-	-	-	-	-	-
000705	39.0	-1.4	4.2	1.8	1.4	0.22	< 0.02	6.2	5.6	0.4	0.7	0.7
000802	72.8	-1.0	5.0	2.7	1.7	0.19	0.04	5.6	5.1	0.3	0.7	0.9
000830	42.8	-1.5	3.4	2.3	1.0	< 0.02	0.02	1.1	1.8	0.7	0.2	0.6
000927	96.7	-4.6	6.1	3.9	2.1	< 0.04	0.05	4.4	4.1	0.3	0.8	3.1
001025	69.7	-3.8	5.2	2.1	1.5	0.13	0.03	4.1	3.9	0.3	0.6	1.5
001122	102.6	< 0.5	5.3	3.5	2.0	< 0.04	< 0.04	6.6	6.3	0.3	0.7	0.9
001220	90.4	< 0.5	3.4	2.2	1.5	< 0.04	< 0.04	8.6	7.7	0.3	0.8	0.4

jaar	876.5	-19.3	57.0	32.5	20.0	0.83	0.29	69.5	64.9	4.2	8.4	14.2
zomer	395.7	-13.0	30.6	17.1	9.8	0.62	0.19	28.4	27.0	2.5	3.7	7.7
winter	480.9	-6.2	26.4	15.4	10.2	0.21	0.10	41.2	37.8	1.7	4.7	6.5

Bijlage B **Landelijk overzicht van concentratie en
natte depositie van hoofdcomponenten voor
de jaar-, zomer- en winterperiode**

Tabel B1: *Overzicht van de jaargemiddelde concentratie van hoofdcomponenten in 2000 op de stations van het LMRe.*

station	nsI	pH	K25	H+	NH4	NO3	SO4	PO4	F	Cl	Na	K	Mg	Ca
	mm		µS/cm	µmol/l	µmol/l	µmol/l	µmol/l	µmol/l	µmol/l	µmol/l	µmol/l	µmol/l	µmol/l	µmol/l
131	883.0	5.84	20.2	-28	98	37	25	0.8	0.7	27	24	3	4	7
134	898.7	5.35	18.7	-1	68	37	24	0.5	1.5	22	21	3	3	8
231	1025.7	5.33	20.2	0	73	35	25	0.5	0.8	32	31	3	4	5
235	1033.7	4.99	24.1	11	64	35	29	0.3	0.9	48	43	3	6	7
318	1003.4	5.61	24.1	-9	69	34	27	0.3	1.1	64	57	5	7	11
434	993.0	-	-	-	-	-	-	-	-	-	-	-	-	-
444	989.2	4.76	38.7	23	37	32	26	0.2	0.3	163	141	4	17	6
538	976.3	-	-	-	-	-	-	-	-	-	-	-	-	-
628	952.3	5.16	25.6	3	70	38	26	0.6	0.5	63	58	5	7	6
631	928.5	5.75	22.6	-12	66	38	23	0.6	0.5	56	51	4	7	12
722	965.2	5.74	20.4	-15	93	44	23	0.2	0.6	30	26	3	4	6
724	950.0	5.35	23.8	-2	86	41	27	0.1	1.0	48	43	3	5	5
732	1063.1	5.64	22.5	-3	76	38	25	0.2	0.4	57	52	3	7	5
928	-	-	-	-	-	-	-	-	-	-	-	-	-	-
929	-	5.37	22.4	-2	75	43	23	0.0	0.5	45	42	4	5	6
934	876.5	5.87	25.6	-22	64	37	23	1.0	0.3	78	73	5	9	16
gem.	967.0	5.31	23.8	-4	72	38	25	0.4	0.7	56	51	4	7	8

Tabel B2: *Overzicht van de natte depositie van hoofdcomponenten gedurende het jaar 2000 op de stations van het LMRe.*

station	nsI	H+	NH4	NO3	SO4	PO4	F	Cl	Na	K	Mg	Ca
	mm	mmol/m ²	mmol/m ²	mmol/m ²	mmol/m ²	mmol/m ²	mmol/m ²	mmol/m ²	mmol/m ²	mmol/m ²	mmol/m ²	mmol/m ²
131	883.0	-23.5	84.1	31.2	21.3	0.65	0.55	23.1	20.9	2.4	3.2	5.8
134	898.7	-0.8	61.0	33.3	21.7	0.45	1.37	20.0	18.7	2.8	2.9	7.5
231	1025.7	-0.1	75.0	36.4	25.5	0.51	0.78	33.1	31.5	3.3	3.9	5.1
235	1033.7	12.2	65.9	36.4	29.8	0.27	0.98	51.6	46.1	3.2	5.9	6.8
318	1003.4	-9.0	68.0	33.3	27.1	0.33	1.05	63.6	56.6	4.6	7.4	11.1
434	993.0	-	-	-	-	-	-	-	-	-	-	-
444	989.2	23.0	39.5	33.4	27.3	0.24	0.35	165.6	142.9	4.2	17.1	6.5
538	976.3	-	-	-	-	-	-	-	-	-	-	-
628	952.3	2.0	70.5	38.5	26.3	0.59	0.55	60.1	55.4	4.7	6.7	6.1
631	928.5	-12.2	65.1	37.3	22.0	0.60	0.45	53.0	48.5	3.6	6.9	11.7
722	965.2	-13.6	82.5	39.5	20.6	0.20	0.52	25.0	22.2	2.4	3.2	5.5
724	950.0	-2.4	77.4	37.6	23.6	0.06	0.88	38.7	34.8	2.3	4.3	4.7
732	1063.1	-2.8	80.4	40.7	26.3	0.20	0.48	60.4	55.4	2.8	7.5	5.7
928	-	-	-	-	-	-	-	-	-	-	-	-
929	-	-1.4	64.3	37.2	20.1	0.04	0.41	40.8	37.8	3.5	4.8	5.3
934	876.5	-19.3	57.0	32.5	20.0	0.83	0.29	69.5	64.9	4.2	8.4	14.2
gem	967.0	-3.7	68.5	35.9	24.0	0.38	0.67	54.2	48.9	3.4	6.3	7.4

Tabel B3: *Overzicht van de zomergemiddelde concentratie van hoofdcomponenten in 2000 op de stations van het LMRe.*

station	nsi	pH	K25	H+	NH4	NO3	SO4	PO4	F	Cl	Na	K	Mg	Ca
	mm		$\mu\text{S/cm}$	$\mu\text{mol/l}$	$\mu\text{mol/l}$	$\mu\text{mol/l}$	$\mu\text{mol/l}$	$\mu\text{mol/l}$	$\mu\text{mol/l}$	$\mu\text{mol/l}$	$\mu\text{mol/l}$	$\mu\text{mol/l}$	$\mu\text{mol/l}$	$\mu\text{mol/l}$
131	437.2	5.69	21.9	-36	115	44	28	1.4	0.9	17	15	4	3	9
134	505.6	5.24	20.3	-2	83	45	27	0.8	1.7	14	14	4	2	9
231	515.8	5.24	22.1	-1	91	45	28	0.3	1.0	23	22	3	3	6
235	508.8	4.98	25.2	11	78	44	31	0.3	1.0	38	35	3	5	7
318	481.1	5.62	25.5	-13	84	43	30	0.3	1.1	53	47	5	7	14
434	378.3	-	-	-	-	-	-	-	-	-	-	-	-	-
444	341.9	4.89	37.2	18	60	42	31	0.6	0.4	133	117	5	14	8
538	343.6	-	-	-	-	-	-	-	-	-	-	-	-	-
628	407.0	5.22	26.6	-8	98	51	32	1.3	0.8	41	40	8	5	7
631	429.3	6.03	23.2	-24	91	48	25	1.2	0.6	38	36	5	6	14
722	509.9	6.02	21.7	-22	116	58	26	0.3	0.8	15	13	3	2	8
724	478.3	5.22	23.4	-5	106	55	28	0.1	1.1	19	18	3	3	6
732	451.4	5.75	22.1	-8	97	48	27	0.4	0.6	34	33	3	4	6
928	-	-	-	-	-	-	-	-	-	-	-	-	-	-
929	467.3	5.24	23.6	-6	95	54	27	0.1	0.7	26	25	5	3	7
934	395.7	6.24	28.0	-34	80	45	26	1.6	0.5	74	71	7	10	20
gem.	443.4	5.33	24.7	-10	92	48	28	0.7	0.9	40	37	4	5	9

Tabel B4: *Overzicht van de natte depositie van hoofdcomponenten gedurende de zomer van 2000 op de stations van het LMRe.*

station	nsi	H+	NH4	NO3	SO4	PO4	F	Cl	Na	K	Mg	Ca
	mm	mmol/m^2	mmol/m^2	mmol/m^2	mmol/m^2	mmol/m^2	mmol/m^2	mmol/m^2	mmol/m^2	mmol/m^2	mmol/m^2	mmol/m^2
131	437.2	-16.5	53.2	20.1	12.7	0.63	0.42	7.8	7.1	1.7	1.5	4.1
134	505.6	-1.1	41.7	22.6	13.8	0.39	0.86	6.9	6.9	2.1	1.3	4.4
231	515.8	-0.6	46.7	23.4	14.7	0.16	0.53	11.9	11.4	1.4	1.6	3.0
235	508.8	5.4	39.8	22.3	15.7	0.14	0.53	19.3	17.6	1.8	2.3	3.6
318	481.1	-6.3	41.4	21.4	14.9	0.15	0.54	26.1	23.1	2.4	3.3	6.7
434	378.3	-	-	-	-	-	-	-	-	-	-	-
444	341.9	6.7	22.5	15.8	11.7	0.23	0.16	50.2	44.4	1.7	5.4	3.0
538	343.6	-	-	-	-	-	-	-	-	-	-	-
628	407.0	-3.6	43.0	22.2	13.9	0.56	0.35	17.7	17.4	3.3	2.2	3.2
631	429.3	-11.2	42.6	22.6	11.9	0.57	0.30	17.8	16.9	2.3	2.8	6.7
722	509.9	-9.1	47.9	24.0	10.6	0.11	0.33	6.3	5.4	1.1	1.0	3.4
724	478.3	-2.1	42.4	22.0	11.2	0.04	0.44	7.6	7.1	1.0	1.0	2.3
732	451.4	-3.5	43.6	21.6	12.1	0.18	0.29	15.5	14.9	1.2	2.0	2.6
928	-	-	-	-	-	-	-	-	-	-	-	-
929	467.3	-2.5	40.7	23.2	11.4	0.02	0.28	11.3	10.9	2.3	1.4	2.9
934	395.7	-13.0	30.6	17.1	9.8	0.62	0.19	28.4	27.0	2.5	3.7	7.7
gem	443.4	-4.4	41.2	21.4	12.6	0.29	0.40	17.4	16.2	1.9	2.3	4.1

Tabel B5: *Overzicht van de wintergemiddelde concentratie van hoofdcomponenten in 2000 op de stations van het LMRe.*

station	nsi	pH	K25	H+	NH4	NO3	SO4	PO4	F	Cl	Na	K	Mg	Ca
	mm		$\mu\text{S/cm}$	$\mu\text{mol/l}$	$\mu\text{mol/l}$	$\mu\text{mol/l}$	$\mu\text{mol/l}$	$\mu\text{mol/l}$	$\mu\text{mol/l}$	$\mu\text{mol/l}$	$\mu\text{mol/l}$	$\mu\text{mol/l}$	$\mu\text{mol/l}$	$\mu\text{mol/l}$
131	445.8	6.13	18.0	-18	77	28	22	0.0	0.3	38	35	2	4	4
134	393.1	5.55	16.5	1	49	27	20	0.1	1.3	33	30	2	4	8
231	509.9	5.44	18.3	1	55	26	21	0.7	0.5	42	39	4	5	4
235	524.9	5.00	22.9	13	48	26	26	0.2	0.8	59	53	3	7	6
318	522.3	5.60	22.7	-5	53	24	24	0.4	1.0	75	67	4	8	9
434	614.7	4.81	28.6	9	45	28	25	1.0	0.4	82	75	5	9	7
444	647.4	4.71	39.5	25	26	27	24	0.0	0.3	178	152	4	18	5
538	632.7	-	-	-	-	-	-	-	-	-	-	-	-	-
628	545.3	5.11	24.9	10	50	30	23	0.0	0.4	78	70	3	8	5
631	499.2	5.61	22.1	-2	45	29	20	0.1	0.3	71	63	3	8	10
722	455.3	5.60	19.5	-10	75	33	22	0.2	0.4	41	37	3	5	5
724	471.7	5.45	24.0	-1	74	33	26	0.0	0.9	66	59	3	7	5
732	611.7	5.57	22.8	1	60	31	23	0.0	0.3	73	66	3	9	5
928	-	-	-	-	-	-	-	-	-	-	-	-	-	-
929	-	5.56	21.0	3	53	32	20	0.0	0.3	66	61	3	8	5
934	480.9	5.71	23.7	-12	52	30	20	0.4	0.2	81	74	3	9	13
gem.	525.3	5.25	23.2	1	55	29	23	0.2	0.5	70	63	3	8	7

Tabel B6: *Overzicht van de natte depositie van hoofdcomponenten gedurende de winter van 2000 op de stations van het LMRe.*

station	nsi	H+	NH4	NO3	SO4	PO4	F	Cl	Na	K	Mg	Ca
	mm	mmol/m^2	mmol/m^2	mmol/m^2	mmol/m^2	mmol/m^2	mmol/m^2	mmol/m^2	mmol/m^2	mmol/m^2	mmol/m^2	mmol/m^2
131	445.8	-7.0	30.9	11.1	8.6	0.02	0.14	15.4	13.8	0.6	1.7	1.8
134	393.1	0.4	19.3	10.7	7.9	0.05	0.51	13.1	11.8	0.7	1.7	3.1
231	509.9	0.5	28.3	13.0	10.8	0.35	0.25	21.3	20.1	1.9	2.4	2.1
235	524.9	6.8	26.1	14.1	14.2	0.14	0.45	32.3	28.6	1.5	3.6	3.2
318	522.3	-2.7	26.6	11.9	12.2	0.18	0.51	37.5	33.5	2.2	4.2	4.4
434	614.7	5.4	27.9	17.1	15.3	0.64	0.26	50.2	46.1	2.8	5.8	4.1
444	647.4	16.3	17.0	17.6	15.5	0.01	0.19	115.4	98.5	2.5	11.6	3.5
538	632.7	-	-	-	-	-	-	-	-	-	-	-
628	545.3	5.7	27.5	16.3	12.4	0.03	0.20	42.3	38.0	1.4	4.5	3.0
631	499.2	-1.0	22.5	14.7	10.1	0.03	0.15	35.2	31.6	1.3	4.1	5.0
722	455.3	-4.6	34.6	15.5	10.0	0.09	0.19	18.8	16.9	1.2	2.2	2.1
724	471.7	-0.3	35.1	15.6	12.4	0.02	0.44	31.1	27.8	1.3	3.3	2.5
732	611.7	0.7	36.8	19.0	14.2	0.02	0.18	44.9	40.5	1.7	5.5	3.2
928	-	-	-	-	-	-	-	-	-	-	-	-
929	-	1.1	23.6	14.0	8.7	0.02	0.13	29.4	26.9	1.2	3.4	2.3
934	480.9	-6.2	26.4	15.4	10.2	0.21	0.10	41.2	37.8	1.7	4.7	6.5
gem	525.3	1.1	27.3	14.7	11.6	0.13	0.26	37.7	33.7	1.6	4.2	3.3

Bijlage C Concentratie en natte depositie van zware metalen per station

Tabel C1: Concentratie van zware metalen in 2000 op station 131.

datum	nsi	V	Cr	Fe	Co	Ni	Cu	Zn	As	Cd	Pb
	mm	$\mu\text{mol/l}$	$\mu\text{mol/l}$	$\mu\text{mol/l}$	$\mu\text{mol/l}$	$\mu\text{mol/l}$	$\mu\text{mol/l}$	$\mu\text{mol/l}$	$\mu\text{mol/l}$	$\mu\text{mol/l}$	$\mu\text{mol/l}$
000119	61.7	0.007	< 0.010	< 0.4	< 0.002	< 0.007	0.018	0.10	< 0.002	0.0008	0.007
000216	69.5	0.017	< 0.010	0.7	< 0.002	< 0.007	0.023	0.16	< 0.002	0.0022	0.010
000315	117.8	0.016	< 0.010	0.6	< 0.002	< 0.007	0.024	0.12	< 0.002	0.0014	0.010
000412	23.1	0.023	< 0.010	1.7	0.003	0.009	0.059	0.36	0.003	0.0014	0.014
000510	65.3	0.012	< 0.010	0.7	< 0.002	< 0.007	0.058	0.26	0.003	0.0011	0.015
000607	123.8	0.015	< 0.010	0.4	< 0.002	< 0.007	0.039	0.20	0.003	0.0011	0.017
000705	36.1	0.023	< 0.010	0.9	< 0.002	0.009	0.057	0.25	0.003	0.0014	0.023
000802	71.8	0.010	< 0.010	0.4	< 0.002	< 0.007	0.038	0.20	< 0.002	0.0008	0.010
000830	62.7	0.011	< 0.010	-	< 0.002	< 0.007	0.024	0.14	0.002	0.0006	0.011
000927	54.4	0.008	< 0.010	0.4	< 0.002	< 0.007	0.051	0.16	< 0.002	0.0007	0.006
001025	71.3	0.008	< 0.010	< 0.4	< 0.002	< 0.007	0.022	0.13	< 0.002	0.0008	0.006
001122	69.7	0.009	< 0.010	< 0.4	< 0.002	< 0.007	0.033	0.19	< 0.002	0.0009	0.007
001220	55.8	0.006	< 0.010	< 0.4	< 0.002	< 0.007	0.040	0.12	< 0.002	0.0005	0.005
jaar	883.0	0.012	0.002	0.5	0.001	0.005	0.035	0.17	0.002	0.0011	0.011
zomer	437.2	0.014	0.002	0.6	0.001	0.005	0.043	0.21	0.002	0.0010	0.014
winter	445.8	0.011	0.002	0.4	0.001	0.004	0.026	0.13	0.001	0.0012	0.008

Tabel C2: Natte depositie van zware metalen in 2000 op station 131.

datum	nsi	V	Cr	Fe	Co	Ni	Cu	Zn	As	Cd	Pb
	mm	$\mu\text{mol/m}^2$	$\mu\text{mol/m}^2$	$\mu\text{mol/m}^2$	$\mu\text{mol/m}^2$	$\mu\text{mol/m}^2$	$\mu\text{mol/m}^2$	$\mu\text{mol/m}^2$	$\mu\text{mol/m}^2$	$\mu\text{mol/m}^2$	$\mu\text{mol/m}^2$
000119	61.7	0.41	< 0.62	< 25	< 0.12	< 0.43	1.08	6.4	< 0.12	0.052	0.40
000216	69.5	1.15	< 0.70	51	< 0.14	< 0.49	1.59	11.2	< 0.14	0.150	0.66
000315	117.8	1.93	< 1.18	74	< 0.24	< 0.82	2.84	13.5	< 0.24	0.170	1.21
000412	23.1	0.54	< 0.23	40	0.06	0.21	1.37	8.2	0.07	0.031	0.32
000510	65.3	0.81	< 0.65	48	< 0.13	< 0.46	3.77	16.7	0.19	0.074	0.97
000607	123.8	1.84	< 1.24	53	< 0.25	< 0.87	4.79	24.6	0.31	0.135	2.10
000705	36.1	0.82	< 0.36	31	< 0.07	0.32	2.06	9.0	0.12	0.049	0.83
000802	71.8	0.74	< 0.72	31	< 0.14	< 0.50	2.74	14.6	< 0.14	0.060	0.73
000830	62.7	0.71	< 0.63	-	< 0.13	< 0.44	1.51	8.8	0.13	0.037	0.69
000927	54.4	0.42	< 0.54	22	< 0.11	< 0.38	2.76	8.4	< 0.11	0.039	0.34
001025	71.3	0.59	< 0.71	< 29	< 0.14	< 0.50	1.56	9.2	< 0.14	0.054	0.45
001122	69.7	0.59	< 0.70	< 28	< 0.14	< 0.49	2.31	13.2	< 0.14	0.062	0.51
001220	55.8	0.33	< 0.56	< 22	< 0.11	< 0.39	2.21	6.5	< 0.11	0.031	0.29
jaar	883.0	10.88	1.70	443	0.70	4.05	30.58	150.4	1.47	0.943	9.49
zomer	437.2	5.89	1.02	263	0.44	2.33	19.00	90.4	0.98	0.425	5.97
winter	445.8	5.00	0.68	180	0.27	1.72	11.59	60.0	0.49	0.518	3.52

Tabel C3: Concentratie van zware metalen in 2000 op station 134.

datum	nsl mm	V	Cr	Fe	Co	Ni	Cu	Zn	As	Cd	Pb
		$\mu\text{mol/l}$	$\mu\text{mol/l}$	$\mu\text{mol/l}$	$\mu\text{mol/l}$	$\mu\text{mol/l}$	$\mu\text{mol/l}$	$\mu\text{mol/l}$	$\mu\text{mol/l}$	$\mu\text{mol/l}$	$\mu\text{mol/l}$
000119	65.2	0.015	< 0.010	< 0.4	< 0.002	< 0.007	0.026	0.10	< 0.002	0.0003	0.009
000216	80.5	0.019	< 0.010	0.5	< 0.002	< 0.007	0.029	0.14	< 0.002	0.0007	0.014
000315	72.2	0.021	< 0.010	1.1	< 0.002	< 0.007	0.035	0.24	0.002	0.0010	0.020
000412	26.0	-	-	-	-	-	-	-	-	-	-
000510	76.5	0.018	< 0.010	1.0	< 0.002	< 0.007	0.034	0.21	0.002	0.0009	0.019
000607	79.8	0.017	< 0.010	0.8	0.002	< 0.007	0.045	0.42	0.002	0.0012	0.027
000705	51.1	0.016	< 0.010	0.5	< 0.002	< 0.007	0.031	0.19	< 0.002	0.0005	0.018
000802	154.1	0.015	< 0.010	< 0.4	< 0.002	< 0.007	0.027	0.17	< 0.002	0.0010	0.013
000830	46.9	0.016	< 0.010	0.8	< 0.002	0.008	0.058	0.23	< 0.002	0.0009	0.017
000927	71.2	-	-	-	-	-	-	-	-	-	-
001025	65.4	0.015	< 0.010	< 0.4	< 0.002	< 0.007	0.023	0.17	< 0.002	0.0008	0.015
001122	51.3	0.009	< 0.010	< 0.4	< 0.002	< 0.007	0.027	0.17	< 0.002	0.0005	0.015
001220	58.5	0.010	< 0.010	< 0.4	< 0.002	< 0.007	0.028	0.13	< 0.002	0.0003	0.007
jaar	898.7	0.016	0.003	0.5	0.001	0.005	0.032	0.20	0.002	0.0008	0.016
zomer	505.6	0.016	0.003	0.6	0.001	0.006	0.036	0.24	0.002	0.0010	0.018
winter	393.1	0.015	0.002	0.5	0.001	0.004	0.028	0.16	0.001	0.0006	0.013

Tabel C4: Natte depositie van zware metalen in 2000 op station 134.

datum	nsl mm	V	Cr	Fe	Co	Ni	Cu	Zn	As	Cd	Pb
		$\mu\text{mol/m}^2$	$\mu\text{mol/m}^2$	$\mu\text{mol/m}^2$	$\mu\text{mol/m}^2$	$\mu\text{mol/m}^2$	$\mu\text{mol/m}^2$	$\mu\text{mol/m}^2$	$\mu\text{mol/m}^2$	$\mu\text{mol/m}^2$	$\mu\text{mol/m}^2$
000119	65.2	0.97	< 0.65	< 26	< 0.13	< 0.46	1.70	6.6	< 0.13	0.022	0.59
000216	80.5	1.55	< 0.81	39	< 0.16	< 0.56	2.37	11.3	< 0.16	0.056	1.13
000315	72.2	1.53	< 0.72	78	< 0.14	< 0.51	2.54	17.1	0.16	0.074	1.42
000412	26.0	-	-	-	-	-	-	-	-	-	-
000510	76.5	1.35	< 0.77	77	< 0.15	< 0.54	2.56	16.3	0.17	0.067	1.43
000607	79.8	1.38	< 0.80	65	0.18	< 0.56	3.61	33.4	0.18	0.094	2.15
000705	51.1	0.80	< 0.51	24	< 0.10	< 0.36	1.60	9.5	< 0.10	0.028	0.92
000802	154.1	2.31	< 1.54	< 62	< 0.31	< 1.08	4.11	26.8	< 0.31	0.162	1.96
000830	46.9	0.76	< 0.47	39	< 0.09	0.35	2.73	10.9	< 0.09	0.042	0.80
000927	71.2	-	-	-	-	-	-	-	-	-	-
001025	65.4	0.99	< 0.65	< 26	< 0.13	< 0.46	1.53	11.0	< 0.13	0.050	0.95
001122	51.3	0.46	< 0.51	< 21	< 0.10	< 0.36	1.39	8.7	< 0.10	0.024	0.79
001220	58.5	0.57	< 0.59	< 23	< 0.12	< 0.41	1.66	7.8	< 0.12	0.020	0.41
jaar	898.7	15.31	2.68	543	0.89	4.88	31.63	198.1	1.57	0.795	15.45
zomer	505.6	9.24	1.82	358	0.65	3.18	20.46	135.7	1.04	0.549	10.16
winter	393.1	6.07	0.87	185	0.25	1.70	11.17	62.5	0.53	0.246	5.29

Tabel C9: Concentratie van zware metalen in 2000 op station 318.

datum	nsi	V	Cr	Fe	Co	Ni	Cu	Zn	As	Cd	Pb
	mm	$\mu\text{mol/l}$	$\mu\text{mol/l}$	$\mu\text{mol/l}$	$\mu\text{mol/l}$	$\mu\text{mol/l}$	$\mu\text{mol/l}$	$\mu\text{mol/l}$	$\mu\text{mol/l}$	$\mu\text{mol/l}$	$\mu\text{mol/l}$
000119	91.7	0.010	< 0.010	1.4	< 0.002	< 0.007	0.019	0.11	0.002	0.0005	0.009
000216	71.2	0.018	< 0.010	0.7	< 0.002	< 0.007	0.028	0.11	< 0.002	0.0008	0.010
000315	75.6	0.023	< 0.010	1.8	< 0.002	< 0.007	0.033	0.11	0.002	0.0007	0.013
000412	37.3	0.036	< 0.010	2.0	0.002	0.015	0.074	0.27	0.003	0.0013	0.021
000510	53.6	0.036	0.010	7.1	0.004	0.012	0.060	0.25	0.016	0.0013	0.039
000607	117.3	0.019	< 0.010	0.7	< 0.002	< 0.007	0.036	0.16	0.003	0.0009	0.022
000705	60.0	0.031	< 0.010	0.5	< 0.002	0.011	0.028	0.20	< 0.002	0.0006	0.015
000802	93.5	0.019	< 0.010	1.0	< 0.002	< 0.007	0.026	0.10	< 0.002	0.0004	0.009
000830	31.8	0.029	< 0.010	1.4	< 0.002	0.013	0.040	0.12	0.003	0.0006	0.013
000927	87.6	0.013	< 0.010	< 0.4	< 0.002	< 0.007	0.019	0.09	< 0.002	0.0013	0.008
001025	77.9	0.014	< 0.010	1.2	< 0.002	< 0.007	0.038	0.15	0.002	0.0009	0.028
001122	107.2	-	-	-	-	-	-	-	-	-	-
001220	98.7	0.009	< 0.010	< 0.4	< 0.002	< 0.007	0.032	0.15	< 0.002	0.0009	0.013
jaar	1003.4	0.019	0.003	1.3	0.001	0.007	0.033	0.14	0.003	0.0008	0.016
zomer	481.1	0.023	0.004	1.5	0.001	0.008	0.036	0.16	0.004	0.0009	0.017
winter	522.3	0.014	0.002	1.1	0.001	0.005	0.030	0.13	0.002	0.0007	0.015

Tabel C10: Natte depositie van zware metalen in 2000 op station 318.

datum	nsi	V	Cr	Fe	Co	Ni	Cu	Zn	As	Cd	Pb
	mm	$\mu\text{mol/m}^2$	$\mu\text{mol/m}^2$	$\mu\text{mol/m}^2$	$\mu\text{mol/m}^2$	$\mu\text{mol/m}^2$	$\mu\text{mol/m}^2$	$\mu\text{mol/m}^2$	$\mu\text{mol/m}^2$	$\mu\text{mol/m}^2$	$\mu\text{mol/m}^2$
000119	91.7	0.95	< 0.92	130	< 0.18	< 0.64	1.74	9.7	0.22	0.047	0.84
000216	71.2	1.25	< 0.71	50	< 0.14	< 0.50	2.02	7.9	< 0.14	0.053	0.74
000315	75.6	1.75	< 0.76	138	< 0.15	< 0.53	2.46	8.2	0.17	0.055	1.00
000412	37.3	1.35	< 0.37	76	0.09	0.54	2.76	10.0	0.13	0.049	0.78
000510	53.6	1.95	0.54	379	0.21	0.64	3.22	13.6	0.85	0.071	2.08
000607	117.3	2.28	< 1.17	80	< 0.23	< 0.82	4.22	18.8	0.39	0.109	2.58
000705	60.0	1.88	< 0.60	29	< 0.12	0.64	1.65	12.2	< 0.12	0.038	0.91
000802	93.5	1.80	< 0.94	89	< 0.19	< 0.65	2.40	9.5	< 0.19	0.041	0.82
000830	31.8	0.92	< 0.32	44	< 0.06	0.41	1.28	3.9	0.10	0.019	0.40
000927	87.6	1.10	< 0.88	< 35	< 0.18	< 0.61	1.70	7.5	< 0.18	0.111	0.66
001025	77.9	1.10	< 0.78	96	< 0.16	< 0.55	2.92	11.6	0.19	0.066	2.19
001122	107.2	-	-	-	-	-	-	-	-	-	-
001220	98.7	0.85	< 0.99	< 39	< 0.20	< 0.69	3.17	15.0	< 0.20	0.086	1.29
jaar	1003.4	18.34	2.80	1252	1.11	6.52	32.01	138.4	2.86	0.807	15.49
zomer	481.1	11.26	1.94	726	0.64	3.91	17.24	75.5	1.85	0.439	8.22
winter	522.3	7.08	0.86	526	0.47	2.60	14.77	62.9	1.01	0.369	7.27

Tabel C11: Concentratie van zware metalen in 2000 op station 434.

datum	nsi	V	Cr	Fe	Co	Ni	Cu	Zn	As	Cd	Pb
	mm	$\mu\text{mol/l}$	$\mu\text{mol/l}$	$\mu\text{mol/l}$	$\mu\text{mol/l}$	$\mu\text{mol/l}$	$\mu\text{mol/l}$	$\mu\text{mol/l}$	$\mu\text{mol/l}$	$\mu\text{mol/l}$	$\mu\text{mol/l}$
000119	56.2	0.058	< 0.010	< 0.4	< 0.002	0.018	0.027	0.12	< 0.002	0.0007	0.009
000216	86.1	0.037	< 0.010	0.6	< 0.002	0.014	0.034	0.10	< 0.002	0.0005	0.015
000315	105.1	0.036	< 0.010	1.6	< 0.002	0.013	0.027	0.08	< 0.002	0.0004	0.010
000412	23.7	0.068	< 0.010	1.4	0.003	0.026	0.078	0.34	0.003	0.0015	0.021
000510	40.0	0.054	0.027	5.0	0.004	0.024	0.092	0.36	0.007	0.0022	0.044
000607	106.5	0.030	< 0.010	< 0.4	0.002	0.014	0.059	0.18	0.002	0.0010	0.017
000705	43.7	0.038	< 0.010	1.0	< 0.002	0.017	0.076	0.17	0.003	0.0010	0.019
000802	89.1	0.038	< 0.010	0.7	< 0.002	0.014	0.039	0.13	< 0.002	0.0005	0.014
000830	13.6	0.056	< 0.010	2.1	0.003	0.023	0.081	0.25	0.005	0.0013	0.034
000927	61.7	-	-	-	-	-	-	-	-	-	-
001025	96.2	0.036	< 0.010	< 0.4	< 0.002	0.009	0.027	0.13	< 0.002	0.0005	0.015
001122	181.0	0.048	< 0.010	0.5	< 0.002	0.013	0.024	0.16	< 0.002	0.0007	0.018
001220	90.2	0.024	< 0.010	< 0.4	< 0.002	0.010	0.033	0.12	< 0.002	0.0005	0.013
jaar	993.0	0.040	0.003	0.8	0.001	0.014	0.040	0.15	0.002	0.0007	0.016
zomer	378.3	0.040	0.005	1.2	0.002	0.017	0.062	0.20	0.003	0.0011	0.021
winter	614.7	0.040	0.002	0.6	0.001	0.013	0.028	0.12	0.001	0.0006	0.014

Tabel C12: Natte depositie van zware metalen in 2000 op station 434.

datum	nsi	V	Cr	Fe	Co	Ni	Cu	Zn	As	Cd	Pb
	mm	$\mu\text{mol/m}^2$	$\mu\text{mol/m}^2$	$\mu\text{mol/m}^2$	$\mu\text{mol/m}^2$	$\mu\text{mol/m}^2$	$\mu\text{mol/m}^2$	$\mu\text{mol/m}^2$	$\mu\text{mol/m}^2$	$\mu\text{mol/m}^2$	$\mu\text{mol/m}^2$
000119	56.2	3.27	< 0.56	< 22	< 0.11	1.01	1.52	6.6	< 0.11	0.039	0.52
000216	86.1	3.20	< 0.86	54	< 0.17	1.19	2.93	8.5	< 0.17	0.045	1.25
000315	105.1	3.74	< 1.05	168	< 0.21	1.31	2.85	8.3	< 0.21	0.043	1.01
000412	23.7	1.62	< 0.24	33	0.06	0.62	1.85	8.0	0.08	0.037	0.49
000510	40.0	2.16	1.06	200	0.15	0.94	3.67	14.2	0.27	0.087	1.75
000607	106.5	3.22	< 1.07	< 43	0.23	1.46	6.30	19.5	0.23	0.102	1.83
000705	43.7	1.67	< 0.44	42	< 0.09	0.73	3.30	7.3	0.15	0.045	0.83
000802	89.1	3.36	< 0.89	62	< 0.18	1.21	3.48	11.1	< 0.18	0.046	1.21
000830	13.6	0.75	< 0.14	29	0.04	0.32	1.10	3.3	0.06	0.018	0.46
000927	61.7	-	-	-	-	-	-	-	-	-	-
001025	96.2	3.50	< 0.96	< 38	< 0.19	0.90	2.58	12.6	< 0.19	0.052	1.39
001122	181.0	8.63	< 1.81	98	< 0.36	2.33	4.31	28.4	< 0.36	0.125	3.29
001220	90.2	2.16	< 0.90	< 36	< 0.18	0.90	2.99	10.7	< 0.18	0.050	1.16
jaar	993.0	39.40	3.34	845	1.36	13.81	40.16	149.2	1.93	0.744	16.28
zomer	378.3	14.90	1.89	459	0.75	6.15	22.99	74.1	1.09	0.391	7.65
winter	614.7	24.50	1.45	386	0.62	7.65	17.16	75.1	0.84	0.354	8.63

Tabel C13: Concentratie van zware metalen in 2000 op station 444.

datum	nsi	V	Cr	Fe	Co	Ni	Cu	Zn	As	Cd	Pb
	mm	$\mu\text{mol/l}$	$\mu\text{mol/l}$	$\mu\text{mol/l}$	$\mu\text{mol/l}$	$\mu\text{mol/l}$	$\mu\text{mol/l}$	$\mu\text{mol/l}$	$\mu\text{mol/l}$	$\mu\text{mol/l}$	$\mu\text{mol/l}$
000119	76.9	-	-	-	-	-	-	-	-	-	-
000216	70.2	0.015	< 0.010	< 0.4	< 0.002	< 0.007	0.015	0.06	< 0.002	0.0005	0.014
000315	83.8	0.019	< 0.010	0.8	< 0.002	< 0.007	0.015	< 0.06	< 0.002	0.0004	0.011
000412	21.0	0.032	< 0.010	1.4	0.002	0.014	0.094	0.20	0.003	0.0022	0.024
000510	43.0	0.024	< 0.010	0.7	< 0.002	0.007	0.046	0.22	0.003	0.0011	0.035
000607	89.4	0.015	< 0.010	< 0.4	< 0.002	< 0.007	0.030	0.09	< 0.002	0.0004	0.011
000705	17.7	0.045	< 0.010	1.4	0.002	0.017	0.125	0.27	0.004	0.0014	0.038
000802	49.2	0.018	< 0.010	< 0.4	< 0.002	< 0.007	0.029	0.07	< 0.002	< 0.0003	0.013
000830	14.9	0.033	< 0.010	0.9	< 0.002	0.011	0.092	0.11	0.002	0.0007	0.020
000927	106.7	0.026	< 0.010	< 0.4	< 0.002	< 0.007	0.015	0.07	< 0.002	0.0004	0.010
001025	115.2	0.016	< 0.010	< 0.4	< 0.002	< 0.007	0.018	0.08	< 0.002	0.0004	0.012
001122	200.0	0.021	< 0.010	< 0.4	< 0.002	< 0.007	0.024	0.09	< 0.002	0.0004	0.015
001220	101.3	0.015	< 0.010	< 0.4	< 0.002	< 0.007	0.018	0.08	< 0.002	0.0005	0.018
jaar	989.2	0.020	0.002	0.3	0.001	0.006	0.027	0.09	0.001	0.0005	0.015
zomer	341.9	0.023	0.002	0.4	0.001	0.007	0.039	0.12	0.002	0.0006	0.017
winter	647.4	0.018	0.002	0.3	0.001	0.005	0.020	0.08	0.001	0.0004	0.014

Tabel C14: Natte depositie van zware metalen in 2000 op station 444.

datum	nsi	V	Cr	Fe	Co	Ni	Cu	Zn	As	Cd	Pb
	mm	$\mu\text{mol/m}^2$	$\mu\text{mol/m}^2$	$\mu\text{mol/m}^2$	$\mu\text{mol/m}^2$	$\mu\text{mol/m}^2$	$\mu\text{mol/m}^2$	$\mu\text{mol/m}^2$	$\mu\text{mol/m}^2$	$\mu\text{mol/m}^2$	$\mu\text{mol/m}^2$
000119	76.9	-	-	-	-	-	-	-	-	-	-
000216	70.2	1.07	< 0.70	< 28	< 0.14	< 0.49	1.07	4.4	< 0.14	0.032	0.96
000315	83.8	1.58	< 0.84	68	< 0.17	< 0.59	1.25	< 5.0	< 0.17	0.030	0.91
000412	21.0	0.66	< 0.21	28	0.04	0.29	1.97	4.2	0.06	0.046	0.50
000510	43.0	1.01	< 0.43	31	< 0.09	0.31	1.96	9.5	0.11	0.048	1.50
000607	89.4	1.30	< 0.89	< 36	< 0.18	< 0.63	2.66	8.1	< 0.18	0.039	1.01
000705	17.7	0.79	< 0.18	24	0.04	0.31	2.22	4.8	0.08	0.024	0.67
000802	49.2	0.86	< 0.49	< 20	< 0.10	< 0.34	1.42	3.2	< 0.10	< 0.015	0.64
000830	14.9	0.49	< 0.15	13	< 0.03	0.17	1.37	1.6	0.04	0.010	0.29
000927	106.7	2.75	< 1.07	< 43	< 0.21	< 0.75	1.62	7.9	< 0.21	0.041	1.06
001025	115.2	1.87	< 1.15	< 46	< 0.23	< 0.81	2.07	9.7	< 0.23	0.042	1.37
001122	200.0	4.20	< 2.00	< 80	< 0.40	< 1.40	4.84	17.2	< 0.40	0.086	2.99
001220	101.3	1.50	< 1.01	< 41	< 0.20	< 0.71	1.86	8.2	< 0.20	0.049	1.79
jaar	989.2	20.14	1.65	329	0.60	5.94	26.54	92.7	1.36	0.508	15.29
zomer	341.9	7.87	0.58	138	0.25	2.36	13.22	39.3	0.54	0.222	5.67
winter	647.4	12.27	1.06	191	0.35	3.58	13.32	53.3	0.82	0.286	9.62

Tabel C17: Concentratie van zware metalen in 2000 op station 628.

datum	nsl mm	V	Cr	Fe	Co	Ni	Cu	Zn	As	Cd	Pb
		$\mu\text{mol/l}$	$\mu\text{mol/l}$	$\mu\text{mol/l}$	$\mu\text{mol/l}$	$\mu\text{mol/l}$	$\mu\text{mol/l}$	$\mu\text{mol/l}$	$\mu\text{mol/l}$	$\mu\text{mol/l}$	$\mu\text{mol/l}$
000119	75.0	0.012	< 0.010	< 0.4	< 0.002	< 0.007	0.018	0.08	< 0.002	0.0006	0.009
000216	68.5	0.019	< 0.010	0.6	< 0.002	< 0.007	0.025	0.09	< 0.002	0.0006	0.014
000315	111.6	0.022	< 0.010	1.9	0.002	0.007	0.022	0.15	< 0.002	0.0007	0.011
000412	22.2	-	-	-	-	-	-	-	-	-	-
000510	32.8	0.022	< 0.010	0.7	< 0.002	0.009	0.051	0.20	0.003	0.0009	0.024
000607	128.4	0.018	< 0.010	< 0.4	< 0.002	0.008	0.036	0.17	< 0.002	0.0008	0.016
000705	38.7	0.027	< 0.010	1.0	< 0.002	0.011	0.047	0.17	0.003	0.0014	0.059
000802	84.7	0.021	< 0.010	0.4	< 0.002	< 0.007	0.029	0.11	< 0.002	0.0005	0.024
000830	38.7	0.025	< 0.010	0.8	< 0.002	0.010	0.058	0.18	0.002	0.0009	0.050
000927	61.5	0.032	< 0.010	0.5	< 0.002	0.010	0.036	0.20	0.002	0.0012	0.023
001025	76.6	0.019	< 0.010	0.6	< 0.002	< 0.007	0.030	0.17	< 0.002	0.0009	0.015
001122	120.5	0.020	< 0.010	< 0.4	< 0.002	< 0.007	0.038	0.16	< 0.002	0.0007	0.015
001220	93.1	0.015	< 0.010	< 0.4	< 0.002	< 0.007	0.020	0.11	< 0.002	0.0005	0.009
jaar	952.3	0.020	0.001	0.6	0.001	0.007	0.031	0.14	0.002	0.0007	0.019
zomer	407.0	0.023	0.001	0.5	0.001	0.008	0.039	0.16	0.002	0.0009	0.027
winter	545.3	0.018	0.002	0.7	0.001	0.006	0.026	0.13	0.001	0.0007	0.012

Tabel C18: Natte depositie van zware metalen in 2000 op station 628.

datum	nsl mm	V	Cr	Fe	Co	Ni	Cu	Zn	As	Cd	Pb
		$\mu\text{mol/m}^2$	$\mu\text{mol/m}^2$	$\mu\text{mol/m}^2$	$\mu\text{mol/m}^2$	$\mu\text{mol/m}^2$	$\mu\text{mol/m}^2$	$\mu\text{mol/m}^2$	$\mu\text{mol/m}^2$	$\mu\text{mol/m}^2$	$\mu\text{mol/m}^2$
000119	75.0	0.93	< 0.75	< 30	< 0.15	< 0.53	1.31	5.7	< 0.15	0.047	0.65
000216	68.5	1.27	< 0.69	44	< 0.14	< 0.48	1.73	5.8	< 0.14	0.040	0.99
000315	111.6	2.40	< 1.12	213	0.25	0.79	2.42	16.2	< 0.22	0.073	1.26
000412	22.2	-	-	-	-	-	-	-	-	-	-
000510	32.8	0.71	< 0.33	22	< 0.07	0.28	1.69	6.5	0.09	0.031	0.78
000607	128.4	2.36	< 1.28	< 51	< 0.26	0.98	4.57	21.7	< 0.26	0.100	2.08
000705	38.7	1.04	< 0.39	39	< 0.08	0.42	1.82	6.4	0.13	0.052	2.28
000802	84.7	1.80	< 0.85	36	< 0.17	< 0.59	2.49	9.1	< 0.17	0.042	2.05
000830	38.7	0.96	< 0.39	31	< 0.08	0.40	2.23	7.0	0.08	0.034	1.94
000927	61.5	1.95	< 0.62	32	< 0.12	0.60	2.21	12.2	0.14	0.073	1.39
001025	76.6	1.46	< 0.77	43	< 0.15	< 0.54	2.28	13.2	< 0.15	0.067	1.13
001122	120.5	2.37	< 1.21	< 48	< 0.24	< 0.84	4.53	19.4	< 0.24	0.088	1.84
001220	93.1	1.38	< 0.93	< 37	< 0.19	< 0.65	1.89	10.6	< 0.19	0.048	0.86
jaar	952.3	20.11	1.38	602	0.91	6.74	31.66	144.2	1.71	0.750	19.00
zomer	407.0	10.29	0.56	241	0.37	3.69	17.51	73.3	0.95	0.388	12.29
winter	545.3	9.81	0.82	361	0.54	3.05	14.16	70.9	0.76	0.362	6.72

Tabel C19: Concentratie van zware metalen in 2000 op station 631.

datum	nsl mm	V	Cr	Fe	Co	Ni	Cu	Zn	As	Cd	Pb
		$\mu\text{mol/l}$	$\mu\text{mol/l}$	$\mu\text{mol/l}$	$\mu\text{mol/l}$	$\mu\text{mol/l}$	$\mu\text{mol/l}$	$\mu\text{mol/l}$	$\mu\text{mol/l}$	$\mu\text{mol/l}$	$\mu\text{mol/l}$
000119	68.5	0.011	< 0.010	2.6	< 0.002	< 0.007	0.021	0.30	0.002	0.0033	0.008
000216	61.9	0.020	< 0.010	2.7	0.002	0.008	0.024	0.25	0.003	0.0022	0.012
000315	105.9	0.024	< 0.010	5.6	0.003	0.010	0.016	0.12	0.003	0.0010	0.011
000412	30.4	0.020	< 0.010	1.3	< 0.002	0.008	0.051	0.15	0.002	0.0010	0.010
000510	27.8	0.020	< 0.010	1.2	0.002	0.008	0.059	0.20	0.003	0.0011	0.016
000607	87.6	0.015	< 0.010	0.9	< 0.002	< 0.007	0.030	0.16	0.002	0.0012	0.013
000705	41.2	0.024	< 0.010	1.0	< 0.002	0.011	0.041	0.18	0.003	0.0011	0.021
000802	93.1	0.017	< 0.010	3.1	< 0.002	0.007	0.030	0.14	0.003	0.0009	0.016
000830	70.7	0.023	< 0.010	0.9	< 0.002	0.008	0.032	0.11	< 0.002	0.0007	0.015
000927	78.5	0.015	< 0.010	< 0.4	< 0.002	< 0.007	0.029	0.17	< 0.002	0.0013	0.020
001025	66.8	0.017	< 0.010	0.5	< 0.002	< 0.007	0.042	0.24	0.002	0.0016	0.023
001122	113.7	0.017	< 0.010	0.6	< 0.002	< 0.007	0.020	0.22	< 0.002	0.0017	0.014
001220	82.5	0.013	< 0.010	2.1	< 0.002	< 0.007	0.024	0.18	0.002	0.0015	0.011
jaar	928.5	0.018	0.003	1.9	0.001	0.007	0.029	0.18	0.002	0.0014	0.014
zomer	429.3	0.018	0.002	1.3	0.001	0.007	0.034	0.15	0.002	0.0010	0.016
winter	499.2	0.017	0.003	2.4	0.002	0.007	0.024	0.21	0.002	0.0018	0.013

Tabel C20: Natte depositie van zware metalen in 2000 op station 631.

datum	nsl mm	V	Cr	Fe	Co	Ni	Cu	Zn	As	Cd	Pb
		$\mu\text{mol/m}^2$	$\mu\text{mol/m}^2$	$\mu\text{mol/m}^2$	$\mu\text{mol/m}^2$	$\mu\text{mol/m}^2$	$\mu\text{mol/m}^2$	$\mu\text{mol/m}^2$	$\mu\text{mol/m}^2$	$\mu\text{mol/m}^2$	$\mu\text{mol/m}^2$
000119	68.5	0.78	< 0.69	176	< 0.14	< 0.48	1.43	20.8	0.14	0.225	0.57
000216	61.9	1.25	< 0.62	169	0.12	0.46	1.50	15.2	0.17	0.138	0.75
000315	105.9	2.51	< 1.06	589	0.35	1.03	1.73	12.3	0.28	0.108	1.14
000412	30.4	0.60	< 0.30	38	< 0.06	0.24	1.56	4.6	0.06	0.030	0.30
000510	27.8	0.57	< 0.28	34	0.06	0.23	1.64	5.7	0.09	0.031	0.45
000607	87.6	1.29	< 0.88	75	< 0.18	< 0.61	2.63	14.3	0.18	0.106	1.13
000705	41.2	1.00	< 0.41	42	< 0.08	0.44	1.70	7.3	0.13	0.045	0.88
000802	93.1	1.60	< 0.93	285	< 0.19	0.68	2.76	12.9	0.27	0.081	1.52
000830	70.7	1.63	< 0.71	62	< 0.14	0.59	2.24	7.9	< 0.14	0.049	1.05
000927	78.5	1.21	< 0.79	< 31	< 0.16	< 0.55	2.24	13.6	< 0.16	0.100	1.54
001025	66.8	1.11	< 0.67	35	< 0.13	< 0.47	2.78	15.7	0.13	0.110	1.56
001122	113.7	1.97	< 1.14	69	< 0.23	< 0.80	2.31	25.0	< 0.23	0.198	1.62
001220	82.5	1.06	< 0.82	171	< 0.16	< 0.58	2.01	14.7	0.17	0.125	0.87
jaar	928.5	16.58	2.66	1772	1.32	6.35	26.51	169.8	2.08	1.344	13.40
zomer	429.3	7.90	0.94	563	0.51	3.08	14.76	66.2	0.99	0.441	6.89
winter	499.2	8.68	1.72	1209	0.81	3.27	11.75	103.6	1.09	0.903	6.52

Tabel C23: Concentratie van zware metalen in 2000 op station 724.

datum	nsl mm	V	Cr	Fe	Co	Ni	Cu	Zn	As	Cd	Pb
		$\mu\text{mol/l}$	$\mu\text{mol/l}$	$\mu\text{mol/l}$	$\mu\text{mol/l}$	$\mu\text{mol/l}$	$\mu\text{mol/l}$	$\mu\text{mol/l}$	$\mu\text{mol/l}$	$\mu\text{mol/l}$	$\mu\text{mol/l}$
000119	57.0	0.011	< 0.010	< 0.4	< 0.002	< 0.007	0.023	0.09	< 0.002	0.0005	0.006
000216	69.8	0.018	< 0.010	0.6	< 0.002	< 0.007	0.022	0.12	< 0.002	0.0006	0.010
000315	104.4	0.019	< 0.010	1.4	< 0.002	0.007	0.025	0.09	< 0.002	0.0006	0.011
000412	20.5	0.029	< 0.010	1.5	0.002	0.014	0.148	0.33	0.004	0.0014	0.017
000510	45.7	0.016	< 0.010	0.7	< 0.002	< 0.007	0.057	0.22	0.003	0.0010	0.014
000607	123.9	0.015	< 0.010	< 0.4	< 0.002	< 0.007	0.028	0.14	< 0.002	0.0007	0.013
000705	57.3	0.018	< 0.010	< 0.4	< 0.002	0.007	0.034	0.11	< 0.002	0.0014	0.015
000802	110.3	0.019	< 0.010	< 0.4	< 0.002	< 0.007	0.037	0.13	< 0.002	0.0007	0.014
000830	52.1	0.022	< 0.010	0.5	< 0.002	0.009	0.033	0.19	0.002	0.0005	0.012
000927	68.5	0.012	< 0.010	0.5	< 0.002	< 0.007	0.108	0.20	0.002	0.0006	0.014
001025	71.0	0.015	< 0.010	0.5	< 0.002	0.007	0.045	0.15	< 0.002	0.0006	0.012
001122	85.0	0.017	< 0.010	< 0.4	< 0.002	< 0.007	0.040	0.17	< 0.002	0.0008	0.014
001220	84.5	0.011	< 0.010	< 0.4	< 0.002	< 0.007	0.024	0.11	< 0.002	0.0004	0.008
jaar	950.0	0.016	0.002	0.5	0.001	0.006	0.040	0.14	0.002	0.0007	0.012
zomer	478.3	0.017	0.002	0.5	0.001	0.007	0.051	0.16	0.002	0.0008	0.014
winter	471.7	0.015	0.002	0.6	0.001	0.006	0.030	0.12	0.001	0.0006	0.010

Tabel C24: Natte depositie van zware metalen in 2000 op station 724.

datum	nsl mm	V	Cr	Fe	Co	Ni	Cu	Zn	As	Cd	Pb
		$\mu\text{mol/m}^2$	$\mu\text{mol/m}^2$	$\mu\text{mol/m}^2$	$\mu\text{mol/m}^2$	$\mu\text{mol/m}^2$	$\mu\text{mol/m}^2$	$\mu\text{mol/m}^2$	$\mu\text{mol/m}^2$	$\mu\text{mol/m}^2$	$\mu\text{mol/m}^2$
000119	57.0	0.61	< 0.57	< 23	< 0.11	< 0.40	1.31	4.9	< 0.11	0.030	0.32
000216	69.8	1.26	< 0.70	41	< 0.14	< 0.49	1.51	8.1	< 0.14	0.041	0.72
000315	104.4	1.93	< 1.04	148	< 0.21	0.74	2.57	9.6	< 0.21	0.062	1.11
000412	20.5	0.59	< 0.21	31	0.05	0.29	3.03	6.8	0.08	0.028	0.36
000510	45.7	0.74	< 0.46	31	< 0.09	< 0.32	2.59	10.1	0.14	0.046	0.64
000607	123.9	1.82	< 1.24	< 50	< 0.25	< 0.87	3.46	17.5	< 0.25	0.089	1.56
000705	57.3	1.01	< 0.57	< 23	< 0.11	0.42	1.97	6.3	< 0.11	0.080	0.85
000802	110.3	2.04	< 1.10	< 44	< 0.22	< 0.77	4.09	14.0	< 0.22	0.073	1.53
000830	52.1	1.13	< 0.52	27	< 0.10	0.49	1.72	10.0	0.12	0.028	0.64
000927	68.5	0.82	< 0.69	36	< 0.14	< 0.48	7.41	13.6	0.14	0.039	0.97
001025	71.0	1.08	< 0.71	36	< 0.14	0.51	3.17	10.9	< 0.14	0.044	0.87
001122	85.0	1.44	< 0.85	< 34	< 0.17	< 0.60	3.41	14.0	< 0.17	0.065	1.17
001220	84.5	0.89	< 0.85	< 34	< 0.17	< 0.59	2.05	8.9	< 0.17	0.033	0.71
jaar	950.0	15.34	1.44	498	0.75	5.84	38.30	134.7	1.58	0.659	11.44
zomer	478.3	8.14	0.74	216	0.35	3.25	24.27	78.3	0.95	0.383	6.54
winter	471.7	7.20	0.69	281	0.40	2.59	14.02	56.4	0.63	0.275	4.90

Tabel C25: Concentratie van zware metalen in 2000 op station 732.

datum	nsl mm	V	Cr	Fe	Co	Ni	Cu	Zn	As	Cd	Pb
		$\mu\text{mol/l}$	$\mu\text{mol/l}$	$\mu\text{mol/l}$	$\mu\text{mol/l}$	$\mu\text{mol/l}$	$\mu\text{mol/l}$	$\mu\text{mol/l}$	$\mu\text{mol/l}$	$\mu\text{mol/l}$	$\mu\text{mol/l}$
000119	90.9	0.014	< 0.010	< 0.4	< 0.002	< 0.007	0.013	0.08	< 0.002	0.0007	0.008
000216	83.8	0.022	< 0.010	1.1	0.002	0.007	0.018	0.12	< 0.002	0.0007	0.013
000315	153.2	0.022	< 0.010	1.9	< 0.002	< 0.007	0.020	0.08	< 0.002	0.0005	0.011
000412	28.9	0.028	< 0.010	1.5	< 0.002	0.012	0.044	0.19	0.003	0.0011	0.017
000510	44.2	0.019	< 0.010	0.5	< 0.002	< 0.007	0.031	0.18	0.003	0.0008	0.016
000607	88.9	0.015	< 0.010	< 0.4	< 0.002	< 0.007	0.027	0.13	< 0.002	0.0007	0.016
000705	54.1	0.022	< 0.010	0.5	< 0.002	0.008	0.065	0.14	0.002	0.0009	0.025
000802	119.2	0.017	< 0.010	< 0.4	< 0.002	< 0.007	0.025	0.10	< 0.002	0.0004	0.023
000830	35.1	0.018	< 0.010	0.8	< 0.002	0.008	0.052	0.12	< 0.002	0.0006	0.042
000927	81.0	0.015	< 0.010	< 0.4	< 0.002	< 0.007	0.024	0.13	< 0.002	0.0007	0.018
001025	70.4	0.012	< 0.010	< 0.4	< 0.002	< 0.007	0.023	0.13	< 0.002	0.0006	0.017
001122	110.6	0.013	< 0.010	< 0.4	< 0.002	< 0.007	0.019	0.12	< 0.002	0.0006	0.014
001220	102.9	0.011	< 0.010	< 0.4	< 0.002	< 0.007	0.048	0.08	< 0.002	0.0004	0.009
jaar	1063.1	0.017	0.002	0.6	0.001	0.006	0.028	0.11	0.002	0.0006	0.016
zomer	451.4	0.018	0.002	0.5	0.001	0.006	0.034	0.13	0.002	0.0007	0.021
winter	611.7	0.016	0.002	0.7	0.001	0.005	0.024	0.10	0.001	0.0006	0.012

Tabel C26: Natte depositie van zware metalen in 2000 op station 732.

datum	nsl mm	V	Cr	Fe	Co	Ni	Cu	Zn	As	Cd	Pb
		$\mu\text{mol/m}^2$	$\mu\text{mol/m}^2$	$\mu\text{mol/m}^2$	$\mu\text{mol/m}^2$	$\mu\text{mol/m}^2$	$\mu\text{mol/m}^2$	$\mu\text{mol/m}^2$	$\mu\text{mol/m}^2$	$\mu\text{mol/m}^2$	$\mu\text{mol/m}^2$
000119	90.9	1.23	< 0.91	< 36	< 0.18	< 0.64	1.15	7.2	< 0.18	0.065	0.74
000216	83.8	1.80	< 0.84	90	0.17	0.59	1.52	9.8	< 0.17	0.055	1.07
000315	153.2	3.43	< 1.53	283	< 0.31	< 1.07	3.05	12.1	< 0.31	0.080	1.70
000412	28.9	0.81	< 0.29	42	< 0.06	0.35	1.28	5.5	0.08	0.033	0.48
000510	44.2	0.83	< 0.44	22	< 0.09	< 0.31	1.35	7.9	0.11	0.037	0.69
000607	88.9	1.29	< 0.89	< 36	< 0.18	< 0.62	2.40	11.6	< 0.18	0.062	1.43
000705	54.1	1.21	< 0.54	26	< 0.11	0.43	3.49	7.5	0.12	0.046	1.35
000802	119.2	2.04	< 1.19	< 48	< 0.24	< 0.83	2.97	11.3	< 0.24	0.050	2.73
000830	35.1	0.64	< 0.35	29	< 0.07	0.27	1.82	4.1	< 0.07	0.020	1.46
000927	81.0	1.18	< 0.81	< 32	< 0.16	< 0.57	1.95	10.5	< 0.16	0.055	1.49
001025	70.4	0.82	< 0.70	< 28	< 0.14	< 0.49	1.63	8.8	< 0.14	0.042	1.22
001122	110.6	1.48	< 1.11	< 44	< 0.22	< 0.77	2.08	13.7	< 0.22	0.062	1.53
001220	102.9	1.12	< 1.03	< 41	< 0.21	< 0.72	4.95	8.6	< 0.21	0.043	0.90
jaar	1063.1	17.87	2.51	647	0.94	5.99	29.65	118.9	1.69	0.650	16.78
zomer	451.4	7.99	1.09	209	0.35	2.85	15.27	58.6	0.84	0.303	9.62
winter	611.7	9.88	1.42	438	0.58	3.15	14.38	60.2	0.86	0.347	7.16

Tabel C29: Concentratie van zware metalen in 2000 op station 929.

datum	nsi	V	Cr	Fe	Co	Ni	Cu	Zn	As	Cd	Pb
	mm	$\mu\text{mol/l}$	$\mu\text{mol/l}$	$\mu\text{mol/l}$	$\mu\text{mol/l}$	$\mu\text{mol/l}$	$\mu\text{mol/l}$	$\mu\text{mol/l}$	$\mu\text{mol/l}$	$\mu\text{mol/l}$	$\mu\text{mol/l}$
000216	49.9	0.012	< 0.010	0.7	< 0.002	< 0.007	0.013	0.09	< 0.002	0.0006	0.008
000315	100.8	0.016	< 0.010	1.7	< 0.002	< 0.007	0.013	0.12	< 0.002	0.0004	0.012
000412	25.6	0.029	< 0.010	1.2	< 0.002	0.009	0.186	0.35	0.003	0.0013	0.025
000510	38.1	0.023	< 0.010	1.8	0.002	< 0.007	0.062	0.25	0.010	0.0016	0.044
000607	100.5	0.014	< 0.010	0.5	< 0.002	< 0.007	0.021	0.11	< 0.002	0.0006	0.014
000705	74.0	0.018	< 0.010	0.8	< 0.002	0.008	0.034	0.17	0.003	0.0007	0.018
000802	100.0	0.014	< 0.010	< 0.4	< 0.002	< 0.007	0.023	0.08	< 0.002	0.0004	0.015
000830	47.0	0.015	< 0.010	1.0	< 0.002	< 0.007	0.035	0.09	< 0.002	0.0006	0.021
000927	82.1	0.011	< 0.010	< 0.4	< 0.002	< 0.007	0.023	0.10	< 0.002	0.0004	0.018
001025	47.3	0.010	< 0.010	< 0.4	< 0.002	< 0.007	0.028	0.11	< 0.002	0.0005	0.010
001122	66.1	0.011	< 0.010	< 0.4	< 0.002	< 0.007	0.028	0.12	< 0.002	0.0006	0.010
001220	68.5	0.008	< 0.010	< 0.4	< 0.002	< 0.007	0.038	0.08	< 0.002	0.0004	0.007
jaar	-	0.014	0.002	0.7	0.001	0.005	0.031	0.12	0.002	0.0006	0.015
zomer	467.3	0.016	0.002	0.7	0.001	0.005	0.037	0.14	0.002	0.0007	0.019
winter	-	0.012	0.002	0.7	0.001	0.004	0.023	0.11	0.001	0.0005	0.010

Tabel C30: Natte depositie van zware metalen in 2000 op station 929.

datum	nsi	V	Cr	Fe	Co	Ni	Cu	Zn	As	Cd	Pb
	mm	$\mu\text{mol/m}^2$	$\mu\text{mol/m}^2$	$\mu\text{mol/m}^2$	$\mu\text{mol/m}^2$	$\mu\text{mol/m}^2$	$\mu\text{mol/m}^2$	$\mu\text{mol/m}^2$	$\mu\text{mol/m}^2$	$\mu\text{mol/m}^2$	$\mu\text{mol/m}^2$
000216	49.9	0.62	< 0.50	34	< 0.10	< 0.35	0.64	4.7	< 0.10	0.030	0.41
000315	100.8	1.56	< 1.01	172	< 0.20	< 0.71	1.33	12.5	< 0.20	0.040	1.19
000412	25.6	0.73	< 0.26	31	< 0.05	0.24	4.77	8.9	0.08	0.032	0.63
000510	38.1	0.88	< 0.38	67	0.08	< 0.27	2.34	9.4	0.37	0.060	1.68
000607	100.5	1.44	< 1.01	48	< 0.20	< 0.70	2.09	11.5	< 0.20	0.058	1.43
000705	74.0	1.33	< 0.74	57	< 0.15	0.56	2.49	12.6	0.20	0.053	1.31
000802	100.0	1.38	< 1.00	< 40	< 0.20	< 0.70	2.28	8.4	< 0.20	0.040	1.49
000830	47.0	0.70	< 0.47	47	< 0.09	< 0.33	1.62	4.3	< 0.09	0.027	0.98
000927	82.1	0.92	< 0.82	< 33	< 0.16	< 0.57	1.86	8.4	< 0.16	0.037	1.43
001025	47.3	0.49	< 0.47	< 19	< 0.09	< 0.33	1.31	5.3	< 0.09	0.024	0.49
001122	66.1	0.73	< 0.66	< 26	< 0.13	< 0.46	1.86	7.8	< 0.13	0.040	0.68
001220	68.5	0.57	< 0.69	< 27	< 0.14	< 0.48	2.58	5.3	< 0.14	0.027	0.45
jaar	-	12.66	1.86	635	0.76	4.25	27.76	110.9	1.60	0.521	13.24
zomer	467.3	7.38	0.97	311	0.38	2.45	17.45	63.5	1.12	0.307	8.96
winter	-	5.29	0.89	325	0.38	1.80	10.31	47.4	0.48	0.214	4.28

Tabel C31: Concentratie van zware metalen in 2000 op station 934.

datum	nsi	V	Cr	Fe	Co	Ni	Cu	Zn	As	Cd	Pb
	mm	$\mu\text{mol/l}$	$\mu\text{mol/l}$	$\mu\text{mol/l}$	$\mu\text{mol/l}$	$\mu\text{mol/l}$	$\mu\text{mol/l}$	$\mu\text{mol/l}$	$\mu\text{mol/l}$	$\mu\text{mol/l}$	$\mu\text{mol/l}$
000119	68.2	0.009	< 0.010	0.9	< 0.002	< 0.007	0.021	0.07	< 0.002	0.0005	0.005
000216	73.1	0.017	< 0.010	1.1	< 0.002	< 0.007	0.014	0.09	< 0.002	0.0007	0.008
000315	76.9	0.021	< 0.010	3.6	0.002	0.007	0.022	0.09	0.003	0.0005	0.009
000412	21.0	0.032	0.010	4.8	0.003	0.012	0.095	0.20	0.008	0.0011	0.021
000510	40.1	0.026	< 0.010	4.9	0.003	0.010	0.060	0.24	0.012	0.0014	0.023
000607	83.3	0.014	< 0.010	0.7	< 0.002	< 0.007	0.027	0.11	0.002	0.0008	0.010
000705	39.0	0.031	< 0.010	1.4	< 0.002	0.012	0.059	0.09	0.003	0.0007	0.011
000802	72.8	0.017	< 0.010	1.8	< 0.002	< 0.007	0.027	0.09	0.003	0.0005	0.007
000830	42.8	0.024	< 0.010	1.2	< 0.002	0.008	0.026	0.11	< 0.002	0.0006	0.008
000927	96.7	0.017	< 0.010	3.0	< 0.002	< 0.007	0.024	0.14	0.004	0.0009	0.012
001025	69.7	0.016	< 0.010	2.7	< 0.002	< 0.007	0.029	0.15	0.004	0.0010	0.012
001122	102.6	-	-	-	-	-	-	-	-	-	-
001220	90.4	-	-	-	-	-	-	-	-	-	-
jaar	876.5	0.018	0.004	2.2	0.001	0.006	0.030	0.12	0.003	0.0007	0.010
zomer	395.7	0.020	0.004	2.2	0.002	0.007	0.036	0.13	0.004	0.0008	0.012
winter	480.9	0.016	0.004	2.1	0.001	0.005	0.021	0.10	0.003	0.0007	0.009

Tabel C32: Natte depositie van zware metalen in 2000 op station 934.

datum	nsi	V	Cr	Fe	Co	Ni	Cu	Zn	As	Cd	Pb
	mm	$\mu\text{mol/m}^2$	$\mu\text{mol/m}^2$	$\mu\text{mol/m}^2$	$\mu\text{mol/m}^2$	$\mu\text{mol/m}^2$	$\mu\text{mol/m}^2$	$\mu\text{mol/m}^2$	$\mu\text{mol/m}^2$	$\mu\text{mol/m}^2$	$\mu\text{mol/m}^2$
000119	68.2	0.63	< 0.68	59	< 0.14	< 0.48	1.42	4.8	< 0.14	0.037	0.35
000216	73.1	1.26	< 0.73	82	< 0.15	< 0.51	1.01	6.8	< 0.15	0.049	0.59
000315	76.9	1.65	< 0.77	278	0.17	0.56	1.67	6.8	0.20	0.040	0.70
000412	21.0	0.67	0.22	101	0.06	0.25	2.00	4.3	0.17	0.023	0.43
000510	40.1	1.03	< 0.40	198	0.13	0.39	2.42	9.7	0.49	0.055	0.93
000607	83.3	1.17	< 0.83	61	< 0.17	< 0.58	2.24	8.7	0.18	0.069	0.84
000705	39.0	1.21	< 0.39	54	< 0.08	0.45	2.29	3.6	0.12	0.027	0.42
000802	72.8	1.21	< 0.73	132	< 0.15	< 0.51	1.97	6.3	0.21	0.036	0.51
000830	42.8	1.04	< 0.43	50	< 0.09	0.33	1.10	4.5	< 0.09	0.026	0.34
000927	96.7	1.67	< 0.97	290	< 0.19	< 0.68	2.28	13.7	0.39	0.082	1.16
001025	69.7	1.08	< 0.70	189	< 0.14	< 0.49	1.99	10.5	0.31	0.066	0.80
001122	102.6	-	-	-	-	-	-	-	-	-	-
001220	90.4	-	-	-	-	-	-	-	-	-	-
jaar	876.5	14.91	3.59	1798	1.14	4.90	23.42	94.4	2.70	0.605	8.29
zomer	395.7	7.99	1.70	886	0.62	2.63	14.30	50.8	1.63	0.317	4.63
winter	480.9	6.92	1.89	912	0.53	2.26	9.12	43.5	1.07	0.288	3.67

**Bijlage D Landelijk overzicht van concentratie en
natte depositie van zware metalen voor de
jaar-, zomer- en winterperiode**

Tabel D1: *Overzicht van de jaargemiddelde concentratie van zware metalen in 2000 op de stations van het LMRe.*

station	nsl	V	Cr	Fe	Co	Ni	Cu	Zn	As	Cd	Pb
	mm	$\mu\text{mol/l}$	$\mu\text{mol/l}$	$\mu\text{mol/l}$	$\mu\text{mol/l}$	$\mu\text{mol/l}$	$\mu\text{mol/l}$	$\mu\text{mol/l}$	$\mu\text{mol/l}$	$\mu\text{mol/l}$	$\mu\text{mol/l}$
131	883.0	0.012	0.002	0.5	0.001	0.005	0.035	0.17	0.002	0.0011	0.011
134	898.7	0.016	0.003	0.5	0.001	0.005	0.032	0.20	0.002	0.0008	0.016
231	1025.7	0.020	0.002	0.6	0.001	0.007	0.038	0.16	0.002	0.0010	0.016
235	1033.7	0.025	0.002	0.6	0.001	0.008	0.033	0.14	0.002	0.0008	0.025
318	1003.4	0.019	0.003	1.3	0.001	0.007	0.033	0.14	0.003	0.0008	0.016
434	993.0	0.040	0.003	0.8	0.001	0.014	0.040	0.15	0.002	0.0007	0.016
444	989.2	0.020	0.002	0.3	0.001	0.006	0.027	0.09	0.001	0.0005	0.015
538	976.3	-	-	-	-	-	-	-	-	-	-
628	952.3	0.020	0.001	0.6	0.001	0.007	0.031	0.14	0.002	0.0007	0.019
631	928.5	0.018	0.003	1.9	0.001	0.007	0.029	0.18	0.002	0.0014	0.014
722	965.2	-	-	-	-	-	-	-	-	-	-
724	950.0	0.016	0.002	0.5	0.001	0.006	0.040	0.14	0.002	0.0007	0.012
732	1063.1	0.017	0.002	0.6	0.001	0.006	0.028	0.11	0.002	0.0006	0.016
928	-	-	-	-	-	-	-	-	-	-	-
929	-	0.014	0.002	0.7	0.001	0.005	0.031	0.12	0.002	0.0006	0.015
934	876.5	0.018	0.004	2.2	0.001	0.006	0.030	0.12	0.003	0.0007	0.010
gem.	967.0	0.020	0.002	0.9	0.001	0.007	0.033	0.14	0.002	0.0008	0.015

Tabel D2: *Overzicht van de natte depositie van zware metalen gedurende het jaar 2000 op de stations van het LMRe.*

station	nsl	V	Cr	Fe	Co	Ni	Cu	Zn	As	Cd	Pb
	mm	$\mu\text{mol/m}^2$	$\mu\text{mol/m}^2$	$\mu\text{mol/m}^2$	$\mu\text{mol/m}^2$	$\mu\text{mol/m}^2$	$\mu\text{mol/m}^2$	$\mu\text{mol/m}^2$	$\mu\text{mol/m}^2$	$\mu\text{mol/m}^2$	$\mu\text{mol/m}^2$
131	883.0	10.9	1.7	443	0.7	4.0	30.6	150	1.5	0.94	9.5
134	898.7	15.3	2.7	543	0.9	4.9	31.6	198	1.6	0.80	15.4
231	1025.7	21.3	2.2	649	1.0	7.5	39.8	167	2.2	1.04	17.2
235	1033.7	26.4	2.3	635	0.9	8.2	34.3	150	2.1	0.86	26.2
318	1003.4	18.3	2.8	1252	1.1	6.5	32.0	138	2.9	0.81	15.5
434	993.0	39.4	3.3	845	1.4	13.8	40.2	149	1.9	0.74	16.3
444	989.2	20.1	1.6	329	0.6	5.9	26.5	93	1.4	0.51	15.3
538	976.3	-	-	-	-	-	-	-	-	-	-
628	952.3	20.1	1.4	602	0.9	6.7	31.7	144	1.7	0.75	19.0
631	928.5	16.6	2.7	1772	1.3	6.4	26.5	170	2.1	1.34	13.4
722	965.2	-	-	-	-	-	-	-	-	-	-
724	950.0	15.3	1.4	498	0.7	5.8	38.3	135	1.6	0.66	11.4
732	1063.1	17.9	2.5	647	0.9	6.0	29.6	119	1.7	0.65	16.8
928	-	-	-	-	-	-	-	-	-	-	-
929	-	12.7	1.9	635	0.8	4.3	27.8	111	1.6	0.52	13.2
934	876.5	14.9	3.6	1798	1.1	4.9	23.4	94	2.7	0.61	8.3
gem.	967.0	19.2	2.3	819	1.0	6.5	31.7	140	1.9	0.79	15.2

Tabel D3: *Overzicht van de zomergemiddelde concentratie van zware metalen in 2000 op de stations van het LMRe.*

station	nsI mm	V $\mu\text{mol/l}$	Cr $\mu\text{mol/l}$	Fe $\mu\text{mol/l}$	Co $\mu\text{mol/l}$	Ni $\mu\text{mol/l}$	Cu $\mu\text{mol/l}$	Zn $\mu\text{mol/l}$	As $\mu\text{mol/l}$	Cd $\mu\text{mol/l}$	Pb $\mu\text{mol/l}$
131	437.2	0.014	0.002	0.6	0.001	0.005	0.043	0.21	0.002	0.0010	0.014
134	505.6	0.016	0.003	0.6	0.001	0.006	0.036	0.24	0.002	0.0010	0.018
231	515.8	0.021	0.002	0.6	0.001	0.008	0.042	0.17	0.002	0.0010	0.019
235	508.8	0.025	0.002	0.5	0.001	0.008	0.041	0.16	0.002	0.0010	0.030
318	481.1	0.023	0.004	1.5	0.001	0.008	0.036	0.16	0.004	0.0009	0.017
434	378.3	0.040	0.005	1.2	0.002	0.017	0.062	0.20	0.003	0.0011	0.021
444	341.9	0.023	0.002	0.4	0.001	0.007	0.039	0.12	0.002	0.0006	0.017
538	343.6	0.019	0.003	2.0	0.001	0.009	0.076	0.17	0.004	0.0007	0.012
628	407.0	0.023	0.001	0.5	0.001	0.008	0.039	0.16	0.002	0.0009	0.027
631	429.3	0.018	0.002	1.3	0.001	0.007	0.034	0.15	0.002	0.0010	0.016
722	509.9	-	-	-	-	-	-	-	-	-	-
724	478.3	0.017	0.002	0.5	0.001	0.007	0.051	0.16	0.002	0.0008	0.014
732	451.4	0.018	0.002	0.5	0.001	0.006	0.034	0.13	0.002	0.0007	0.021
928	-	-	-	-	-	-	-	-	-	-	-
929	467.3	0.016	0.002	0.7	0.001	0.005	0.037	0.14	0.002	0.0007	0.019
934	395.7	0.020	0.004	2.2	0.002	0.007	0.036	0.13	0.004	0.0008	0.012
gem.	443.4	0.021	0.003	0.9	0.001	0.008	0.043	0.16	0.003	0.0009	0.018

Tabel D4: *Overzicht van de natte depositie van zware metalen gedurende de zomer van 2000 op de stations van het LMRe.*

station	nsI mm	V $\mu\text{mol/m}^2$	Cr $\mu\text{mol/m}^2$	Fe $\mu\text{mol/m}^2$	Co $\mu\text{mol/m}^2$	Ni $\mu\text{mol/m}^2$	Cu $\mu\text{mol/m}^2$	Zn $\mu\text{mol/m}^2$	As $\mu\text{mol/m}^2$	Cd $\mu\text{mol/m}^2$	Pb $\mu\text{mol/m}^2$
131	437.2	5.9	1.0	263	0.4	2.3	19.0	90	1.0	0.42	6.0
134	505.6	9.2	1.8	358	0.6	3.2	20.5	136	1.0	0.55	10.2
231	515.8	11.3	1.2	323	0.5	4.1	22.7	95	1.3	0.55	10.2
235	508.8	12.8	1.1	275	0.4	4.2	20.7	80	1.2	0.49	15.0
318	481.1	11.3	1.9	726	0.6	3.9	17.2	76	1.9	0.44	8.2
434	378.3	14.9	1.9	459	0.7	6.2	23.0	74	1.1	0.39	7.7
444	341.9	7.9	0.6	138	0.3	2.4	13.2	39	0.5	0.22	5.7
538	343.6	6.5	1.1	703	0.5	3.1	26.0	57	1.3	0.23	4.2
628	407.0	10.3	0.6	241	0.4	3.7	17.5	73	0.9	0.39	12.3
631	429.3	7.9	0.9	563	0.5	3.1	14.8	66	1.0	0.44	6.9
722	509.9	-	-	-	-	-	-	-	-	-	-
724	478.3	8.1	0.7	216	0.3	3.3	24.3	78	1.0	0.38	6.5
732	451.4	8.0	1.1	209	0.4	2.8	15.3	59	0.8	0.30	9.6
928	-	-	-	-	-	-	-	-	-	-	-
929	467.3	7.4	1.0	311	0.4	2.5	17.4	63	1.1	0.31	9.0
934	395.7	8.0	1.7	886	0.6	2.6	14.3	51	1.6	0.32	4.6
gem.	443.4	9.2	1.2	405	0.5	3.4	19.0	74	1.1	0.39	8.3

Tabel D5: *Overzicht van de wintergemiddelde concentratie van zware metalen in 2000 op de stations van het LMRe.*

station	nsI mm	V $\mu\text{mol/l}$	Cr $\mu\text{mol/l}$	Fe $\mu\text{mol/l}$	Co $\mu\text{mol/l}$	Ni $\mu\text{mol/l}$	Cu $\mu\text{mol/l}$	Zn $\mu\text{mol/l}$	As $\mu\text{mol/l}$	Cd $\mu\text{mol/l}$	Pb $\mu\text{mol/l}$
131	445.8	0.011	0.002	0.4	0.001	0.004	0.026	0.13	0.001	0.0012	0.008
134	393.1	0.015	0.002	0.5	0.001	0.004	0.028	0.16	0.001	0.0006	0.013
231	509.9	-	-	-	-	-	-	-	-	-	-
235	524.9	-	-	-	-	-	-	-	-	-	-
318	522.3	0.014	0.002	1.1	0.001	0.005	0.030	0.13	0.002	0.0007	0.015
434	614.7	0.040	0.002	0.6	0.001	0.013	0.028	0.12	0.001	0.0006	0.014
444	647.4	0.018	0.002	0.3	0.001	0.005	0.020	0.08	0.001	0.0004	0.014
538	632.7	-	-	-	-	-	-	-	-	-	-
628	545.3	0.018	0.002	0.7	0.001	0.006	0.026	0.13	0.001	0.0007	0.012
631	499.2	0.017	0.003	2.4	0.002	0.007	0.024	0.21	0.002	0.0018	0.013
722	455.3	-	-	-	-	-	-	-	-	-	-
724	471.7	0.015	0.002	0.6	0.001	0.006	0.030	0.12	0.001	0.0006	0.010
732	611.7	0.016	0.002	0.7	0.001	0.005	0.024	0.10	0.001	0.0006	0.012
928	-	-	-	-	-	-	-	-	-	-	-
929	-	0.012	0.002	0.7	0.001	0.004	0.023	0.11	0.001	0.0005	0.010
934	480.9	0.016	0.004	2.1	0.001	0.005	0.021	0.10	0.003	0.0007	0.009
gem.	525.3	0.018	0.002	0.9	0.001	0.006	0.025	0.13	0.002	0.0008	0.012

Tabel D6: *Overzicht van de natte depositie van zware metalen gedurende de winter van 2000 op de stations van het LMRe.*

station	nsI mm	V $\mu\text{mol/m}^2$	Cr $\mu\text{mol/m}^2$	Fe $\mu\text{mol/m}^2$	Co $\mu\text{mol/m}^2$	Ni $\mu\text{mol/m}^2$	Cu $\mu\text{mol/m}^2$	Zn $\mu\text{mol/m}^2$	As $\mu\text{mol/m}^2$	Cd $\mu\text{mol/m}^2$	Pb $\mu\text{mol/m}^2$
131	445.8	5.0	0.7	180	0.3	1.7	11.6	60	0.5	0.52	3.5
134	393.1	6.1	0.9	185	0.2	1.7	11.2	62	0.5	0.25	5.3
231	509.9	-	-	-	-	-	-	-	-	-	-
235	524.9	-	-	-	-	-	-	-	-	-	-
318	522.3	7.1	0.9	526	0.5	2.6	14.8	63	1.0	0.37	7.3
434	614.7	24.5	1.4	386	0.6	7.7	17.2	75	0.8	0.35	8.6
444	647.4	12.3	1.1	191	0.3	3.6	13.3	53	0.8	0.29	9.6
538	632.7	-	-	-	-	-	-	-	-	-	-
628	545.3	9.8	0.8	361	0.5	3.0	14.2	71	0.8	0.36	6.7
631	499.2	8.7	1.7	1209	0.8	3.3	11.8	104	1.1	0.90	6.5
722	455.3	-	-	-	-	-	-	-	-	-	-
724	471.7	7.2	0.7	281	0.4	2.6	14.0	56	0.6	0.28	4.9
732	611.7	9.9	1.4	438	0.6	3.1	14.4	60	0.9	0.35	7.2
928	-	-	-	-	-	-	-	-	-	-	-
929	-	5.3	0.9	325	0.4	1.8	10.3	47	0.5	0.21	4.3
934	480.9	6.9	1.9	912	0.5	2.3	9.1	44	1.1	0.29	3.7
gem.	525.3	9.3	1.1	454	0.5	3.0	12.9	63	0.8	0.38	6.1

Bijlage E Concentratie en natte depositie van bestrijdingsmiddelen per station

Tabel E1: Concentratie en natte depositie van lindaan in 2000 op station 444 (*ongevalideerde resultaten, uitgezonderd nsl*).

datum	nsl mm	conc µg/l	dep µg/m ²
000119	76.9	< 0.01	< 0.8
000216	70.2	< 0.01	< 0.7
000315	83.8	< 0.01	< 0.8
000412	21.0	0.06	1.3
000510	43.0	0.07	3.0
000607	89.4	-	-
000705	17.7	< 0.01	< 0.2
000802	49.2	-	-
000830	14.9	-	-
000927	106.7	< 0.01	< 1.1
001025	115.2	< 0.01	< 1.2
001122	200.0	-	-
001220	101.3	< 0.01	< 1.0

jaar	989.2	0.02	15.0
zomer	341.9	0.03	9.6
winter	647.4	0.01	5.4

Bijlage F Concentratie en natte depositie van kwik per station

Tabel F1: Concentratie en natte depositie van kwik in 2000 op station 444 (*ongevalideerde resultaten, uitgezonderd nsl*).

datum	nsl mm	conc ng/l	dep $\mu\text{g}/\text{m}^2$
000119	76.9	9	0.7
000216	70.2	9	0.6
000315	83.8	9	0.8
000412	21.0	19	0.4
000510	43.0	22	0.9
000607	89.4	10	0.9
000705	17.7	11	0.2
000802	49.2	13	0.6
000830	14.9	19	0.3
000927	106.7	14	1.4
001025	115.2	6	0.6
001122	200.0	6	1.1
001220	101.3	6	0.6

jaar	989.2	9	9.3
zomer	341.9	14	4.8
winter	647.4	7	4.5

Bijlage G Overzicht van onderste analysegrenzen, molgewichten en gebruikte afkortingen

Tabel G1: Gebruikte afkortingen, onderste analysegrenzen (o.a.g.) en molgewichten voor hoofdcomponenten, zware metalen en organische microcomponenten in 2000.

component afkorting	component naam	onderste analysegrens	eenheid	molgewicht
nsI	neerslag	0.0	mm	n.v.t.
pH	zuurgraad	0.00		n.v.t.
K25	elektrische geleidbaarheid bij 25°C	0.30	µS/cm	n.v.t.
H+	vrij zuur	(+/-) 5.0	µmol/l	1.0
NH4	ammonium	1.0	µmol/l	18.0
NO3	nitraat	2.0	µmol/l	62.0
SO4	sulfaat	1.0	µmol/l	96.1
PO4	orthofosfaat	0.4	µmol/l	95.0
F	fluoride	0.4	µmol/l	19.0
Cl	chloride	3.0	µmol/l	35.5
Na	natrium	2.0	µmol/l	23.0
K	kalium	1.0	µmol/l	39.1
Mg	magnesium	1.0	µmol/l	24.3
Ca	calcium	1.5	µmol/l	40.1
V	vanadium	0.004	µmol/l	50.9
Cr	chroom	0.01	µmol/l	52.0
Fe	ijzer	0.4	µmol/l	55.9
Co	kobalt	0.002	µmol/l	58.9
Ni	nikkel	0.007	µmol/l	58.7
Cu	koper	0.006	µmol/l	63.5
Zn	zink	0.06	µmol/l	65.4
As	arseen	0.002	µmol/l	74.9
Cd	cadmium	0.0003	µmol/l	112.4
Pb	lood	0.002	µmol/l	207.2
γ-HCH	lindaan (γ-hexachloorhexaan)	0.01	µg/l	290.9
Hg	kwik	1.4	ng/l	200.6

Bijlage H Verzendlijst

- 1 Directeur Klimaatverandering en Industrie
- 2 Plv. Directeur-Generaal Milieubeheer
- 3 Hoofd afdeling Klimaat en Verzuring, Directie Klimaatverandering en Industrie
- 4 Depot Nederlandse Publikaties en Nederlandse Bibliografie
- 5 Directie Rijksinstituut voor Volksgezondheid en Milieu
- 6 Bibliotheek BMN
- 7 Bibliotheek LAC
- 8 Bibliotheek LBG
- 9 Bibliotheek LLO
- 10 Bibliotheek LOC
- 11 Dr.ir. D. van Lith
- 12 Dr. A. van der Meulen
- 13 Auteur
- 14 SBD/Voorlichting & Public Relations
- 15 Bureau Rapportenregistratie
- 16 - 17 Bibliotheek RIVM
- 18 - 40 Bureau Rapportenbeheer
- 41 - 50 Reserve exemplaren